

# **Untersuchung des Laktatmetabolismus unter Ergometerbelastung bei HIV-infizierten Patienten**

**Anna-Maria Bauer  
2005**

Aus der Medizinischen Poliklinik der  
Ludwig-Maximilians-Universität München  
Direktor: Prof. Dr. med. D. Schlöndorff

# **Untersuchung des Laktatmetabolismus unter Ergometerbelastung bei HIV-infizierten Patienten**

Dissertation  
Zum Erwerb des Doktorgrades der Medizin  
an der Medizinischen Fakultät der  
Ludwig-Maximilian-Universität zu München

Vorgelegt von  
Anna-Maria Bauer  
aus Eggenfelden  
2005

Mit Genehmigung der medizinischen Fakultät  
der Universität München

|   |   |
|---|---|
| Berichterstatter:                                   | Prof. Dr. J. Bogner   |
| Mitberichterstatter:                                | Prof. Dr. S. Nees<br>Priv. Doz. Dr. Chr. Kupatt<br>Prof. Dr. F. v. Sonnenburg |
| Mitbetreuung durch den<br>promovierten Mitarbeiter: | Dr. T. Sternfeld  |
| Dekan:  | Prof. Dr. med. D. Reinhardt   |
| Tag der mündlichen Prüfung:                         | 20.10.2005  |

Gewidmet meinen Eltern  
Hildegard und Maximilian Bauer

## **Inhaltsverzeichnis**

### **1. Einleitung**

- 1.1. HIV und AIDS – Epidemiologischer Überblick
- 1.2. Therapie der HIV-Infektion
- 1.3. Nebenwirkungen der HAART
- 1.4. Mitochondriale Toxizität
- 1.5. Laktatmetabolismus - Grundlagen des Energiestoffwechsels
- 1.6. Hyperlaktatämie und Laktatazidose unter NRTIs
- 1.7. Problemstellung und Zielsetzung der Studie

### **2. Patienten, Material und Methoden**

- 2.1. Patientenkollektiv und Kontrollgruppe
- 2.2. Versuchsaufbau und Durchführung
- 2.3. Meßmethoden und Parameter
- 2.4. Statistische Methoden

### **3. Ergebnisse**

- 3.1. Patientencharakteristik
- 3.2. Belastungsprotokoll
- 3.3. Laktatmetabolismus

### **4. Diskussion und Ausblick**

### **5. Zusammenfassung**

### **6. Bibliographie**

### **7. Tabellen und Abbildungsverzeichnis**

### **8. Danksagung**

### **9. Lebenslauf**

## **1. Einleitung**

### **1.1. HIV und AIDS - Epidemiologischer Überblick**

Zu Beginn der 80er Jahre kam es zunächst vorwiegend bei homosexuellen Männern, i.v.-Drogenabhängigen und Hämophiliepatienten in den USA zum Auftreten eines bis dahin unbekanntes Krankheitsbildes, welches durch eine ausgeprägte zelluläre Immunschwäche mit rezidivierenden Erkrankungen durch opportunistische Erreger und Parasiten sowie spezifischen Malignomen wie Kaposi-Sarkom und Lymphomen gekennzeichnet war. Nachdem 1984 das HI-Virus von Montagnier am Pasteur-Institut als Krankheitsursache identifiziert worden war, wurde AIDS als Syndrom verschiedener Erkrankungen gleicher Ursache definiert.

Die ersten nachträglich diagnostizierten AIDS-Fälle stammen aus den 60er und 70er Jahren aus Zaire. Weltweit sind bisher seit Ausbruch der Pandemie mehr als 60 Millionen Menschen mit HIV infiziert worden. Zum jetzigen Zeitpunkt leben etwa 42 Millionen Menschen mit dem HI-Virus (Stand Dezember 2002). 2002 haben sich weltweit circa 5 Millionen Menschen neu mit HIV infiziert und rund 3,1 Millionen Menschen sind an den Folgen ihrer HIV-Infektion verstorben, davon allein 2,3 Millionen in Afrika. So ist AIDS in den südlich der Sahara gelegenen afrikanischen Staaten bereits Todesursache Nummer 1 geworden. Weltweit ist AIDS neben Durchfallerkrankungen, Pneumonien, Tuberkulose und Malaria die häufigste Todesursache. In Deutschland haben sich seit Beginn der Verbreitung von HIV etwa 60 000 Menschen infiziert, davon sind 20 000 Menschen verstorben. Zurzeit leben in Deutschland knapp 40 000 HIV-positive Menschen und die Zahl der Neuinfektionen beläuft sich auf circa 2000 pro Jahr. Weltweit infizieren sich täglich 140 000 Menschen mit dem HI-Virus, 8500 Menschen versterben täglich an den Folgen. Nach Schätzungen von WHO und UNAIDS werden sich bis zum Jahre 2010 weitere 45 Millionen Menschen mit HIV infizieren und bis 2020 werden circa 60 Millionen an AIDS sterben, wenn nicht schnell und effektiv gehandelt wird (1). Aufklärungs- und Präventionskampagnen, Programme zur Verhütung der Mutter-Kind-Übertragung, die Verfügbarkeit adäquater antiretroviraler Kombinationstherapie sowie HIV-Test- und Testberatungsangebote stellen wichtige Aufgaben für die Zukunft dar.

## **1.2. Therapie der HIV-Infektion**

Die erste Therapie (1986-1995) der HIV-Infektion und Aids mit Inhibitoren der reversen Transkriptase, den sogenannten Nukleosidanaloga, konnte die Überlebenszeit der Patienten nur gering verlängern, was in der raschen Resistenzentwicklung des HI-Virus unter Monotherapie begründet war. Mit der Einführung der Proteaseinhibitoren 1996 und der Durchführung einer Kombinationstherapie antiretroviraler Medikamente kam es zu einer wesentlich besseren Wirksamkeit mit deutlicher Prognoseverbesserung.

Die hochaktive antiretrovirale Therapie, abgekürzt HAART, besteht aus einer 3-fach Kombination von zwei nukleosidischen Reverse-Transkriptase-Inhibitoren (NRTIs) und einem Proteaseinhibitor (PI) oder von zwei NRTIs mit einem nicht-nukleosidischen Reverse-Transkriptase-Inhibitor (NNRTI) oder auch aus drei verschiedenen Nukleosidanaloga. Die HIV-Virämie kann hierunter unter die Nachweisgrenze gesenkt und die CD4-Zellen deutlich angehoben werden. Dadurch kommt es zu einer Abnahme opportunistischer Infektionen durch den gebesserten Immunstatus und einer Senkung der Mortalität von HIV und AIDS um 50-75%. Die Fortschritte der Forschung, namentlich die Entwicklung immer neuer Medikamente, haben erreicht, dass der Ausbruch bzw. das Fortschreiten der HIV-Infektion sehr lange hinausgezögert werden kann und dem Patienten somit eine erhebliche Lebenszeitverlängerung gewährt wird (2).

## **1.3. Nebenwirkungen der HAART**

Die Toxizität der antiretroviralen Therapie ist ein immer bedeutenderes Thema im Management HIV-infizierter Patienten. Mit dem Rückgang des Auftretens opportunistischer Infektionen und somit dem Vollbild AIDS ist die HIV-Infektion zu einer chronischen, behandelbaren Erkrankung geworden, mit der Folge, dass immer mehr Patienten die aus mindestens drei Medikamenten bestehende Therapie erhalten. Mit der wachsenden Anzahl der therapierten Patienten, der Verfügbarkeit immer wieder neuer Medikamente und einem langen Behandlungszeitraum, wächst die Bedeutung um adäquates Wissen über Langzeittoxizität und Nebenwirkungsspektren (3).

In der über 10-jährigen Therapieerfahrung der HIV-Infektion mit Hemmern der Reverse Transkriptase wurden zahlreiche Nebenwirkungen beobachtet. Häufig, oft nur vorübergehend

und rasch nach Therapiebeginn treten unter anderem gastrointestinale Beschwerden, Kopfschmerzen, Hypersensitivitätsreaktionen in Form von Exanthenen, Blutbildveränderungen sowie Leberenzymveränderungen auf.

Ursprünglich den Proteaseinhibitoren zugeschrieben (4-9) finden sich unter den Langzeitnebenwirkungen NRTI-assoziierte Fettverteilungsstörungen in Begleitung mit metabolischen Veränderungen (10) wie Diabetes mellitus (11), Insulinresistenz (12), Hyperlipidämie (13-15). Diese Nebenwirkungen werden zum sogenannten Lipodystrophie-syndrom zusammengefasst und äußern sich klinisch in Form von peripherer Fettgewebsatrophie an Extremitäten und Gesicht, sowie einer Fettakkumulation dorso-cervical (dem sogenannten Stiernacken) sowie abdominal (16-19).

Durch toxische Einflüsse der HAART hervorgerufene Nebenwirkungen sind in der Literatur in zahlreichen Veröffentlichungen beschrieben: neben der HAART-induzierten Myopathie, (22-25), Steatosis Hepatis (26-30) und Pankreatitis (31-35) stellt die Laktatazidose eine der bedrohlichsten Komplikationen dar (36).

Als ein gemeinsamer pathophysiologischer Mechanismus für eine Reihe von Nebenwirkungen ist die mitochondriale Toxizität der Nucleosidanaloga postuliert worden.

#### **1.4. Mitochondriale Toxizität**

Die mitochondriale Toxizität als Nebenwirkung der HAART ist bereits *in vitro* als auch *in vivo* von zahlreichen Autoren beschrieben worden (16;37-51).

NRTI blockieren nach intrazellulärer Phosphorylierung neben der HIV-Reverse Transkriptase auch die humanen DNA-Polymerasen. Für die Kontrolle, Funktion sowie Replikation der mitochondrialen DNA (mtDNA) spielt die nukleär kodierte Polymerase  $\gamma$  eine entscheidende Rolle (52;53). Die mitochondriale DNA-Polymerase  $\gamma$  hat sowohl eine DNA-als auch RNA-abhängige DNA-Polymeraseaktivität. Letztere erklärt wahrscheinlich die HIV-Reverse-Transkriptase-Aktivität und damit die Anfälligkeit für die Interaktionen mit NRTIs. Der Mechanismus der NRTI-induzierten mitochondrialen Toxizität beinhaltet kompetitive Inhibition, Einbau in mitochondriale DNA mit vorzeitigem Kettenabbruch, Beeinträchtigung



mitochondrialer Enzyme, Entkoppelung der oxydativen Phosphorylierung und Induktion mitochondrialer Apoptose (39).

Mitochondriale DNA scheint für genetische oder exogen erworbene Mutationen sehr vulnerabel zu sein. Die DNA-Polymerase  $\gamma$ , das einzige Regulationsenzym der mtDNA-Replikation, wird durch NRTIs in ihrer Funktion gehemmt: Die sogenannte „Polymerase  $\gamma$  Hypothese“ besagt dass die NRTI-initiierte Inhibition dieses Enzyms zu einer Depletion mitochondrialer DNA und mtDNA-kodierter Proteine und infolgedessen zu einer mitochondrialen Funktionsstörung führt (37;54). Coté et al. beschrieben durch molekularbiologische Analysen quantitative Veränderungen der mtDNA: das in peripheren Blutzellen bestimmte Verhältnis von mtDNA zu nDNA war bei HIV-infizierten Patienten unter HAART mit symptomatischer Hyperlaktatämie im Mittel um 68% niedriger als bei nicht HIV-infizierten Patienten. Nach Absetzen der Therapie kam es zu einem statistisch signifikanten Anstieg der mtDNA (55).

Die Mitochondrien als sogenannte „Kraftwerke der Zelle“ nehmen eine Schlüsselrolle im Energiestoffwechsel der Zellen ein. Durch oxydative Phosphorylierung produzieren sie in der Atmungskette ATP. Glucose wird in der Atmungskette durch oxidative Phosphorylierung zu Wasser,  $\text{CO}_2$  und ATP metabolisiert (56). Mitochondrien befinden sich in allen Zellen außer in Erythrozyten und besitzen eine eigene zirkuläre, doppelsträngige DNA aus 16 000 Basenpaaren, die für 22 Transfer-RNAs und für 13 Untereinheiten der Atmungskette kodieren. Transkription, Replikation und Translation mitochondrialer DNA können unabhängig von nukleärer DNA ablaufen. Das Defizit in der oxydativen Phosphorylierung steigt mit der mitochondrialen Schädigung und die ATP-Produktion fällt schließlich unter die im Gewebe benötigte Menge an Energieäquivalenten. Dies führt zu erhöhten NADH/NAD Quotienten, steigendem Laktat Spiegel, erhöhtem Laktat/Pyruvat Verhältnis, einem gestörten Krebs-Zyklus sowie erhöhter Produktion von Ketonkörpern und intrazellulärer Fettakkumulation.

Die von Nukleosidanaloga induzierte mitochondriale Toxizität führt zu einem bei genetischen Mitochondriopathien sehr ähnlichem Spektrum klinischer Manifestationen (57-60): dazu zählen Phänomene wie Myopathie, Kardiomyopathie, Neuropathie, Laktatazidose, Leberversagen, Knochenmarkssuppression und Pankreatitis. Der hohe Bedarf dieser

betroffenen Organe an oxydativer Energiegewinnung macht sie für Energiedefizite äußerst vulnerabel.

Anhand von Muskel- oder Leberbiopsien kann man im Elektronenmikroskop die Schäden histologisch an vergrößerten Mitochondrien mit parakristallinen, vesikulären Einschlüssen, einer Auflösung der Matrix und einem Verlust der Cristae erkennen (23;40).

Die toxischen Effekte können reversibel oder irreversibel sein, interindividuell im Grad variieren, sie treten sowohl als Langzeiteffekt als auch als akute Nebenwirkung auf und reichen von milden bis zu lebensbedrohlichen klinischen Bildern. Die Menge der defekten DNA scheint zu determinieren ob sich ein Defekt klinisch äußert. Eine genetische Prädisposition bestimmte Nebenwirkungsausprägungen zu entwickeln sowie zusätzliche Risikofaktoren wie weibliches Geschlecht, Adipositas, das Alter oder der HIV-Status werden diskutiert. Auch zeigen, möglicherweise aufgrund einer bestehenden Gewebespezifität, nicht alle NRTIs die gleichen toxischen Effekte (40).

## **1.5. Laktatmetabolismus - Grundlagen des Energiestoffwechsels**

Grundlage für jede Muskelkontraktion stellt der Abbau von Adenosintriphosphat (ATP) zu Adenosindiphosphat (ADP) und Phosphat dar. ATP ist eine hochenergetische Verbindung und die einzige Energieform, welche die Zelle direkt nutzen kann. Da der Vorrat an ATP in der Muskelzelle gering ist, bedarf es der ständigen Regeneration von ATP im Organismus. Die Energiegewinnung über anaerobe Glykolyse liefert pro mol Glucose 2 mol ATP und als Endprodukt Laktat. Die Energiebilanz unter aeroben Verhältnissen ist mit 38 ATP wesentlich günstiger. Es können drei Energie liefernde Stoffwechselprozesse unterschieden werden: die anaerobe alactazide, die anaerobe lactazide und die aerobe Energiebereitstellung durch die in den Mitochondrien stattfindende Zellatmung. Die Verfügbarkeit von Sauerstoff in der Zelle ist entscheidend für die Frage ob Stoffwechselvorgänge aerob oder anaerob ablaufen. Unter aeroben Bedingungen entsteht im Krebszyklus aus Glucose  $\text{CO}_2$  und  $\text{H}_2\text{O}$ , wobei  $\text{CO}_2$  über die Lunge abgeatmet und  $\text{H}_2\text{O}$  vornehmlich über die Nieren ausgeschieden wird.  $\text{NADH}_2$  entsteht dabei im selben Maße wie es oxidiert werden kann. Bei steigender muskulärer Belastung nimmt ADP zu. Wird eine kritische Belastungsschwelle erreicht, kann nicht mehr genügend Sauerstoff aus der Zelle zur Verfügung gestellt und ein Teil des gebildeten Pyruvats wird als Wasserstoffakzeptor benutzt. Hierdurch wird ein Teil von  $\text{NADH}_2$  anaerob oxidiert und Pyruvat in Laktat überführt. Mit noch weiter zunehmender Belastungsintensität wird

immer mehr NADH<sub>2</sub> durch Pyruvat rückoxidiert, womit der Prozentsatz anaerober Arbeit zunimmt. Bei Überschreitung der maximalen Sauerstoffaufnahme von 100% ist jeder weitere Belastungsanstieg ausschließlich anaerober Natur. Der aus sportmedizinischer Sicht so wichtige Unterschied zwischen aeroben und anaeroben Stoffwechselprozessen beruht maßgeblich darauf, dass im Gegensatz zu CO<sub>2</sub> und H<sub>2</sub>O das entstandene Laktat nur sehr langsam aus der Zelle austreten kann. Die Folge ist eine intrazelluläre Anhäufung mit entsprechender Säuerung des Zellmilieus und einem Absinken des pH-Wertes. Hierdurch wird die Leistungsfähigkeit beeinträchtigt (61-63).

Aufgrund des Einflusses von regelmäßigem Training auf den Hormonhaushalt, die Faserzusammensetzung der Skelettmuskulatur sowie die oxidative Kapazität der Mitochondrien kommt es zur verminderten Laktatproduktion. Ebenso besteht ein Trainingseffekt in Form von beschleunigter Laktat-Clearance (64).

Physiologisch besteht ein Fließgleichgewicht zwischen der Laktatproduktion auf der einen und dem Laktatabbau auf der anderen Seite (siehe Abbildung 2).

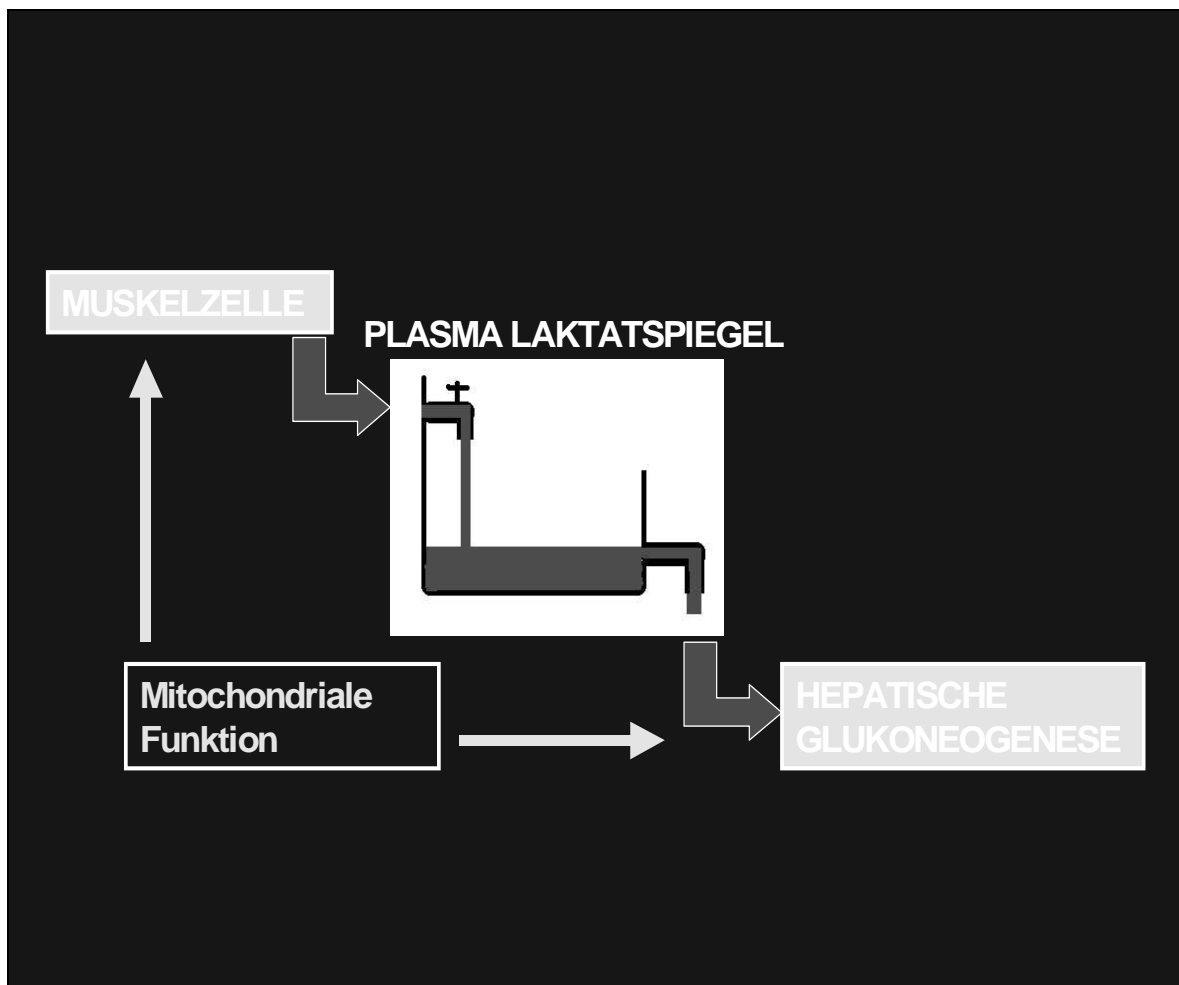


Abbildung 2: Homöostase im Laktatstoffwechsel.

Der normale Serum-Laktatspiegel liegt bei unter 2 mmol/l. Die Homöostase eines konstanten Laktatspiegels kann gestört werden entweder durch vermehrte Produktion von Laktat sowie durch eine Einschränkung der vorwiegend hepatischen Clearance (siehe Abbildung 3).

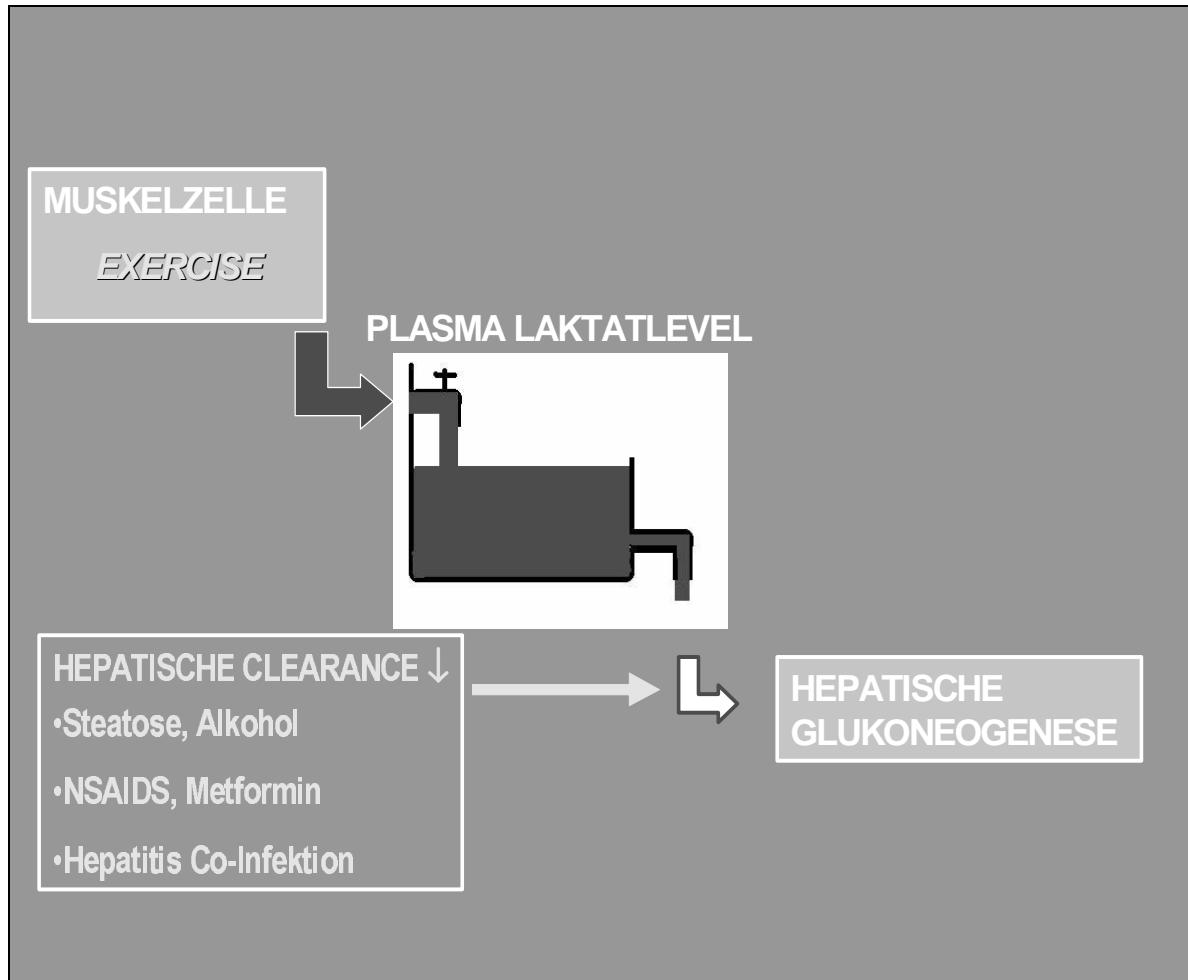


Abbildung 3: Erhöhte Laktatspiegel entstehen durch erhöhte Produktion und/oder verminderte Clearance.

Durch anaerobe Glykolyse wird Laktat produziert, sobald die anaerobe Schwelle erreicht ist und die Energiegewinnung durch oxidative Phosphorylierung nicht mehr gewährleistet wird, wie es zum Beispiel physiologisch bei körperlicher Aktivität der Fall sein kann. Ebenso kommt es zu einer vermehrten Produktion von Laktat in Situationen unzureichender Gewebeoxygenierung wie zum Beispiel beim Schock, Hämorrhagie, Herz- oder pulmonaler Insuffizienz oder Hämoglobinanomalien mit resultierender Hypoxie. Das bei der anaeroben Glykolyse anfallende Endprodukt Laktat wird an die Blutbahn abgegeben. Der Abbau erfolgt vor allem in der Leber, zu einem geringen Anteil in den Nieren und im Skelettmuskel.

Mitochondrien- und ATP-abhängig im sogenannten Cori-Zyklus dient Laktat schließlich als Substrat für die Glukoneogenese. Mögliche Störfaktoren der hepatischen Reutilisierung stellen zum Beispiel Leberparenchymstörungen wie Hepatitiden oder Steatosis Hepatis dar. Noxen wie Alkohol oder Medikamente (Metformin, nichtsteroidale Antirheumatika, NRTIs) können ebenfalls die hepatische Clearance beeinträchtigen (65).

### **1.6. Hyperlaktatämie und Laktatazidose unter NRTIs**

Zahlreiche Veröffentlichungen berichten von dieser die antiretrovirale Therapie begleitenden Nebenwirkung der Hyperlaktatämie und der Laktatazidose, die wohl die gefährlichste Komplikation der NRTI-assoziierten mitochondrialen Dysfunktion darstellt: (66-88).

Die NRTI-assoziierte Hyperlaktatämie wird in der Literatur mit einer Häufigkeit von 15-35% angegeben (89). Bei den Hyperlaktatämie-Syndromen kann man zwischen der mit 8-35% relativ häufig vorkommenden asymptomatischen Hyperlaktatämie und der mit 1.7-25.6 Fällen auf 1000 Patientenjahre auftretenden symptomatischen Hyperlaktatämie unterscheiden (3). Letztere äußert sich in Form von unspezifischen Symptomen, die neu aufgetreten, nicht durch andere Ursachen erklärbar sind und seit mindestens zwei Wochen persistieren. Die Patienten präsentieren sich mit Übelkeit, Erbrechen, Bauchschmerzen, Magenbeschwerden, geblähtem Abdomen, Leberfunktionsstörungen, unerklärbarer Müdigkeit oder Dyspnoe. Der pH-Wert im Blut liegt in beiden Fällen im Normbereich, der Laktatspiegel liegt, durch wiederholte Bestimmung bestätigt, zwischen 2 und 5 mmol/l (81;90). Neben Zidovudine scheint besonders Stavudine zu steigenden Laktatwerten nach HAART-Beginn zu führen. Nach initialem Anstieg stabilisieren sich die Laktatspiegel, wobei sich nach Therapieabbruch beziehungsweise Änderungen im Therapieregime diese Veränderungen als reversibel erweisen (91). Es wird kontrovers diskutiert ob eine Hyperlaktatämie ein Prädiktor für das Entstehen einer Laktatazidose ist. In den beschriebenen Fällen von Patienten trat die Laktatazidose ohne vorangehende Hyperlaktatämie auf, so dass Routinemessungen von Laktat zur Risikoabwägung nicht generell empfohlen werden. Aufgrund der zweifelhaften prädiktiven Aussage käme es zu unnötigen Therapieänderungen (89).

Eine Laktatazidose ist eine Komplikation, die bei Patienten unter Therapie mit allen derzeit verfügbaren NRTIs auftreten kann. Kennzeichen sind ein niedriger pH-Wert  $< 7.25$ , niedrige Bikarbonat-Spiegel  $< 22$  mEq/l, eine erhöhte Anionenlücke sowie einen Plasma-Laktatwert

von  $> 5\text{mmol/l}$ . Cohen und Woods entwickelten ein System, welches die Laktatazidose in zwei Kategorien einteilt: Typ A tritt auf, wenn im Gewebe aufgrund unzureichender Blut- und damit Sauerstoffzufuhr (z.B. bei Schockzuständen) auf Energiegewinnung durch anaeroben Abbau intrazellulärer Glykogenvorräte umgeschaltet wird. Daneben treten Laktatazidosen bei Patienten mit zugrunde liegenden Krankheiten wie Diabetes mellitus, Eisenmangelanämie, Pankreatitis, Leukämie oder Lebererkrankungen (Typ B1), aufgrund von Drogen und Toxinen (Typ B2) und bei angeborenen metabolischen Störungen (Typ B3) auf. Bei der NRTI-induzierten Laktatazidose handelt es sich somit um eine metabolische Azidose vom Typ B2. Die Klinik der Laktatazidose ist relativ unspezifisch: unerklärbare Bauchschmerzen, Übelkeit, Erbrechen, Gewichtsverlust, Unwohlsein, Hyperventilation, Dyspnoe, Leberfunktionsstörungen, Arrhythmien, Zyanose, kalte Extremitäten, Hypotonie, Lethargie, Benommenheit oder Koma können erste Anzeichen sein, wobei die Symptome denen der symptomatischen Hyperlaktatämie ähneln (74). Das Auftreten der Laktatazidose kann nach Monaten oder erst Jahre nach NRTI-Behandlung stattfinden. Wie bereits erwähnt ist der Zusammenhang moderater Hyperlaktatämie und dem Auftreten einer lebensbedrohlichen Laktatazidose unklar. Während die Hyperlaktatämie ein relativ häufiges Phänomen im Zusammenhang mit der HAART darstellt, ist die Laktatazidose selten und wird in der Literatur mit einer Inzidenz von 1.3 Fällen pro 1000 Patientenjahre angegeben (30). John et al. (91) beschreiben eine Häufigkeit von 3.9/1000 Patientenjahre. Obwohl die Inzidenz nicht hoch ist, scheint dennoch eine steigende Tendenz zu beobachten zu sein. Ob dies durch eine Intensivierung der antiretroviralen Therapie oder den Einsatz toxischerer NRTIs wie zum Beispiel Stavudine zu erklären ist, ist unklar.

Die Prognose der Laktatazidose ist mit einer Letalität von 56-100% sehr schlecht (65). Nur frühe Intervention kann zu einer Rückbildung der Azidose führen. Im Rahmen der Laktatazidose-Behandlung sollte die NRTI-Therapie abgebrochen werden. Neben intensivmedizinischer Betreuung kommen unterschiedliche Medikamente wie Thiamin, Coenzym Q, Riboflavin oder L-Carnitin zum Einsatz (77;92-97). Auch helfen möglicherweise hohe Dosen von Riboflavin und Thiamin bei der Prävention der Hyperlaktatämie (98). Von der Arbeitsgruppe um Lopez konnte nachgewiesen werden, dass zusätzliche Gaben von Antioxydantien wie Vitamin E, Beta-Carotin, N-Acetylcystein, Selen und Ginkgo Biloba-Extrakte bei Patienten mit chronischer stabiler Hyperlaktatämie die Laktawerte senken (99).

Ob Hyperlaktatämie beziehungsweise Laktatazidosen auf eine Überproduktion oder eine Abbaustörung zurückzuführen sind und welche zusätzlichen Faktoren das Entstehen dieser

Nebenwirkungen beeinflussen wird viel hypothetisch diskutiert (vergleiche auch Abbildung 4).

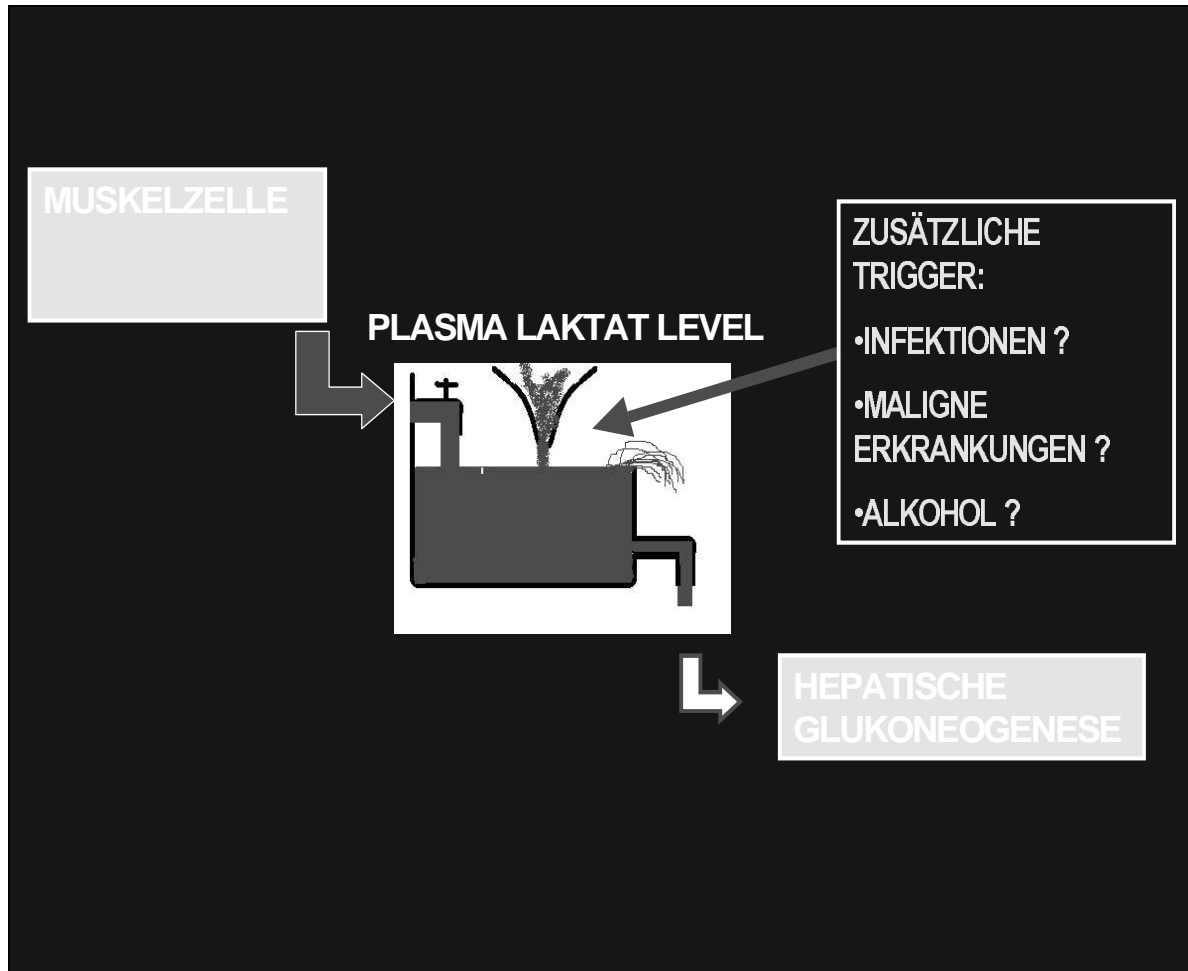


Abbildung 4: Hypothese zur Pathogenese der Laktatazidose. Einfluss von Produktion auf der einen und dem hepatischen Abbau auf der anderen Seite unter Berücksichtigung zusätzlicher möglicher Trigger, welche den Plasma Laktat Spiegel zu erhöhen können.

## 1.7. Problemstellung und Zielsetzung der Studie

Das Phänomen der Hyperlaktatämie und der Laktatazidose unter antiretroviraler Therapie mit NRTIs ist bereits länger bekannt. Dennoch gibt es bisher wenig Aufschluss darüber, ob die Laktatakkumulation auf eine primäre Überproduktion oder eine Abbaustörung zurückzuführen ist. Das Ziel der Studie war, Erkenntnisse bezüglich des Laktatmetabolismus zu gewinnen. Dabei ging es um folgende Fragestellungen:

- Gibt es Unterschiede zwischen HIV-Infizierten und Gesunden hinsichtlich des Laktatmetabolismus?
- Inwiefern beeinflusst die antiretrovirale Therapie die Laktatkinetik?
- Wie ist im Vergleich der Laktatmetabolismus bei Patienten mit einer bereits bestehenden Hyperlaktatämie?

Da aufgrund der mitochondrialen Toxizität Funktionsstörungen in der oxydativen Phosphorylierung und demzufolge Einschränkungen im Energiestoffwechsel postuliert werden, stellt sich die Frage ob die Hyperlaktatämie eine zugrundeliegende mitochondriale Dysfunktion widerspiegelt und diese sich wiederum auf die körperliche Fitness auswirkt. Der Skelettmuskel besitzt eine große Dichte an Mitochondrien und hat bei Aktivierung einen hohen Bedarf an Energieäquivalenten. Theoretisch könnte eine mitochondriale Funktionsstörung demaskiert und objektiviert werden, indem man durch körperliche Aktivität den Bedarf an Energie durch oxydativer Phosphorylierung erhöht. Messbar werden somit sowohl der Laktatanstieg als Korrelat zum anaeroben Energiegewinn als auch die Kapazität der hepatischen Clearance in der Zeit nach der Belastung. Die Zielsetzung der Studie war durch einen Fahrradergometertest Ruhelaktatwerte, den Laktatanstieg während, sowie den Laktatabfall nach der Belastung zu messen.



## **2. Patienten, Material und Methoden**

### **2.1. Patientenkollektiv und Kontrollgruppe**

An der klinischen Studie nahmen im Zeitraum von Februar bis August 2002 45 Probanden teil. Die 35 HIV-infizierten Patienten, davon 31 Männer und vier Frauen, wurden aus dem Patientenkollektiv der Infektionsambulanz und Tagesklinik der Medizinischen Poliklinik des Klinikums der Universität München rekrutiert. Zehn weitere gesunde Personen ohne HIV-Infektion, darunter jeweils fünf Männer und Frauen, beteiligten sich als Kontrollpersonen an der Untersuchung.

Alle Teilnehmer erklärten nach einem Informationsgespräch freiwillig ihr Einverständnis. Ausschlusskriterien waren akute Infektionen, Herz-Kreislauf- oder Atemwegserkrankungen sowie andere körperliche Einschränkungen in Bezug auf die Fahrradergometrie.

Da sowohl Laktatproduktion als auch –abbau von der körperlichen Fitness der jeweiligen Person abhängen, wurden die Probanden zu ihrem körperlichen Aktivitätsradius befragt, körperlich untersucht und anhand eines standardisierten Aktivitätsfragebogens (100) auf vergleichbaren Trainingszustand hin beurteilt (siehe Abbildung 5).

Die Probanden wurden in vier Gruppen eingeteilt:

**Gruppe 1** setzte sich aus zehn gesunden Kontrollpersonen im Alter von  $37 \pm 10,5$  Jahren zusammen. Generell waren alle in einem guten Allgemeinzustand.

**Gruppe 2** bestand aus 11 HIV-infizierten, therapienaiven Patienten. Darunter befanden sich 9 Männer und 2 Frauen. Diese Gruppe war im Mittel  $38 \pm 9,8$  Jahre alt. Die HIV-Infektion war im Mittel seit  $5 \pm 6,2$  Jahren bekannt. Die CD4-Zellzahl belief sich auf  $418 \pm 130$  mio/l.

**Gruppe 3** umfasste 15 männliche HIV-infizierte Patienten unter HAART mit einem durch mehrfache Messungen bestätigten im Normbereich von  $< 2$  mmol/l liegenden Plasma-Laktatspiegel. Das mittlere Lebensalter betrug  $48 \pm 8,8$  Jahre. Die Diagnose HIV war im Mittel seit  $10 \pm 5,4$  Jahren bekannt und die Patienten erhielten durchschnittlich seit  $5 \pm 3,2$  Jahren eine antiretrovirale Therapie. Darunter hatten die Patienten eine CD4-Zellzahl von 377

$\pm 132$  mio/l. Der Allgemein- sowie Trainingszustand war im Allgemeinen gut und dem der Gruppen 1 und 2 vergleichbar.

**Gruppe 4** setzte sich aus 9 HIV-infizierten Patienten, davon acht Männer und eine Frau, zusammen, die unter HAART eine bereits bestehende asymptomatische Hyperlaktämie mit Plasma-Laktatspiegeln von  $> 2$  mmol/l aufwiesen. Diese Gruppe lag im Altersdurchschnitt bei  $50 \pm 16$  Jahren. Die Infektion war im Mittel seit  $8 \pm 4,4$  Jahren bekannt und die Dauer der HAART belief sich auf  $5 \pm 4,3$  Jahre. Die CD4-Zellzahl war im Mittel  $472 \pm 247$  mio/l. Trotz guten Immunstatus erwiesen sich die Patienten nach klinischen Gesichtspunkten im Allgemeinzustand leicht eingeschränkt.

### Fragebogen zur Erhebung von Fitness und Trainingszustand

1. Wie würden Sie Ihre Arbeit beschreiben?
  - vorwiegend sitzend (0)
  - leichte körperliche Aktivitäten (5)
  - mittlere körperliche Aktivitäten (10)
  - schwere körperliche Aktivitäten (15)
2. Wie bewältigen Sie Ihren Weg zur Arbeit?
  - mit dem Auto (0)
  - mit öffentlichen Verkehrsmitteln (3)
  - zu Fuß (6)
  - mit dem Rad (9)
3. Wie sieht Ihr Alltag aus?
  - vorwiegend sitzend (0)
  - leichte körperliche Aktivitäten (Einkaufen, Kochen, Bügeln etc) (5)
  - mittlere körperliche Aktivitäten (Staubsaugen, Gartenarbeit etc) (10)
  - schwere körperliche Aktivitäten (Bauen, Umgraben etc) (15)
4. Nutzen Sie „Bewegungschancen“ im Alltag wie Treppensteigen statt Aufzug, Einkaufen mit dem Rad oder zu Fuß anstatt mit dem Auto u.Ä.?
  - nie (0)
  - sehr wenig (5)
  - wenig (10)
  - viel (15)
  - sehr viel (20)
5. In welchem Zeitumfang betreiben Sie in einer Woche Ausdauersportarten wie Laufen, Radfahren, Schwimmen u.Ä.?
  - nie (0)
  - 0-1 Stunde (5)
  - 1-2 Stunden (10)
  - 2-3 Stunden (15)
  - 3 und mehr Stunden (20)
6. In welchem Umfang betreiben Sie in einer Woche eine fitnessorientierte Sportart wie Badminton, Squash, Fußball, Basketball, Handball u.ä.?
  - nie (0)
  - bis 1 Stunde (5)
  - 1-2 Stunden (10)
  - 2-3 Stunden (15)
  - 3 und mehr Stunden (20)
7. In welchem Umfang betreiben Sie in einer Woche eine fitnessorientiert Trainingsform wie Krafttraining mit oder ohne Geräten, Stretching, Aerobic u.Ä.?
  - nie (0)
  - 0-1 Stunde (5)
  - 1-2 Stunden (10)
  - 2-3 Stunden (15)
  - 3 und mehr Stunden (20)
8. Tragen Sie bitte Ihr Körpergewicht \_\_\_\_\_ kg und Ihre Körpergröße \_\_\_\_\_ m ein.  
Body Mass Index: Gewicht (kg)/ Größe<sup>2</sup> (m<sup>2</sup>)

|                       | Frauen | Männer     |
|-----------------------|--------|------------|
| <input type="radio"/> | <18    | <18 (0)    |
| <input type="radio"/> | 18-20  | 18-22 (10) |
| <input type="radio"/> | 20-23  | 22-24 (10) |
| <input type="radio"/> | 23-30  | 24-30 (0)  |
| <input type="radio"/> | >30    | >30 (0)    |

Abb. 5 Fragebogen zur Erhebung von Fitness und Trainingszustand.

## **2.2. Versuchsaufbau und Durchführung**

Als Methode für die Belastungsuntersuchung wurde die Fahrradergometrie gewählt.

Die Belastungsergometrie wurde nach einem standardisiertem Versuchsprotokoll durchgeführt: Die Teilnehmer waren angewiesen, ohne vorherige körperliche Anstrengung ausgeruht in die Infektionsambulanz zu kommen. Restriktionen bezüglich der Ernährung oder ähnlichem wurden nicht vorgenommen.

Den Patienten wurde in Ruhe und atraumatisch aus einem Venenverweilkatheter ohne venöse Stauung oder Pumpbewegungen seitens des Patienten 2 ml Blut in ein Fluorid-Oxalat-Röhrchen (Vacutainer®) abgenommen.

Unter EKG- und Pulsmonitoring wurde schließlich die Belastung auf einem konventionellen Fahrradergometer der Marke Siemens EM 840 durchgeführt. Ziel war es in einer Aufwärmungsphase eine Herzfrequenz von 200 minus Lebensalter zu erreichen. Dies entspricht weitgehend der für submaximale Belastung angestrebten Pulsfrequenz (101). Ausgehend von 50 Watt wurde die Leistung minütlich in 25 Watt-Schritten angepasst und Wattzahl sowie die Herzfrequenz jede Minute dokumentiert. Bei Erreichen der Zielherzfrequenz wurde die Belastung für zehn Minuten gehalten. Im Rahmen dieses Versuchsprotokolls wurde die zum Teil eingeschränkte Leistungsfähigkeit der Patienten berücksichtigt und die Leistung durch individuelle Einstellung der Wattzahl justiert. Richtlinie für die erbrachte Leistung war die Herzfrequenz der Testpersonen.

Direkt im Anschluss an die Belastung erfolgte eine weitere venöse Blutabnahme ohne Stauung über die Venenverweilkanüle. Die Patienten wurden angewiesen, sich in den folgenden zwei Stunden in sitzender oder liegender Position auszuruhen. Weitere Laktatbestimmungen erfolgten jeweils 15, 30, 45, 60 und 120 Minuten nach Belastungsende.

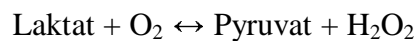
## **2.3. Meßmethoden und Parameter**

Die Laktatbestimmung wurde direkt im Anschluss an den Versuch im Zentrallabor der Medizinischen Klinik in der Ziemssenstrasse durchgeführt. War dies zeitlich nicht möglich, wurden die Blutproben im Kühlschrank gelagert und nach spätestens 12 Stunden verarbeitet. Bei einer Temperatur von 4-8° Celsius ist eine Probenstabilität von Laktat in speziellen Natrium-Fluorid-Oxalat-Röhrchen für bis zu sechs Tage gewährleistet (102).

Um keine verfälscht hohen Werte zu bestimmen sollten die Blutproben aus einer ungestauten Vene stammen. Eine minimale Hämostase (weniger als 30 Sekunden) beeinflusst die Laktatkonzentration nicht. Das in Natrium-Fluorid-Oxalat-Röhrchen (2,5 mg Natriumfluorid und 2,0 mg Kaliumoxalat/ml Blut) abgenommene Vollblut wird nach Enteiweißung mit Trichloressigsäure (200 µl 10% w/v) zentrifugiert und das gewonnene Plasma zur Laktatbestimmung verwendet. Die Laktatanalyse erfolgt mittels des Roche Diagnostics Laktat-Tests. Die Bestimmungsmethode ist eine Enzymreaktion, bei der Laktat zu Pyruvat umgesetzt wird.

Das Testprinzip sieht folgendermaßen aus:

Laktat wird durch das spezifische Enzym Laktatoxidase (LOD) zu Pyruvat oxidiert:



Das in der ersten Reaktion gebildete Wasserstoffperoxid wird mit Peroxidase (POD) zu einem Farbstoff umgesetzt:



Die Intensität der gebildeten Farbe ist der Laktatkonzentration proportional.

Der Messbereich der im Labor verwendeten Roche/Hitachi-Geräte liegt bei 0,2-15,5 mmol/l (103).

Desweiteren wurden folgende Parameter bestimmt oder aus den Patientenakten entnommen: Gewicht, Größe, Leberenzyme (GOT, GPT, GGT, AP), Cholesterin und Triglyceride.

## **2.4. Statistische Methoden**

Innerhalb jeder der vier Gruppen wurde für alle gemessenen Parameter Mittelwert und Standardabweichung beziehungsweise Median und Range bestimmt.

Die Ergebnisse der Laktatbestimmung wurden anhand eines non-parametrischen Kruskal-Wallis und dem t-Test verglichen. Um den Laktatabfall nach der Belastung zu messen, wurde die Fläche unter den Kurven (AUC, area under the curve) rechnerisch bestimmt. Zur

Datenanalyse diente ANOVA (Analysis of Variance between groups). Die computergestützte Auswertung erfolgte durch das Statistikprogramm SPSS.

### 3. Ergebnisse

#### 3.1. Patientencharakteristik

Der Altersdurchschnitt der Patienten lag in Gruppe 1 bei  $37 \pm 10,5$ , in Gruppe 2 bei  $38 \pm 9,8$ , in Gruppe 3 bei  $48 \pm 8,8$  und in Gruppe 4 bei  $50 \pm 16$  Jahren. Dabei unterschieden sich die Gruppen 2 und 3 hinsichtlich des Lebensalters signifikant voneinander ( $p=0,013$ ). Eine Zusammenfassung zeigt folgende Tabelle:

Tabelle 1: Patientendaten Gruppe 1-4

| <b>Gruppe</b>             | <b>1</b> (n=10)    | <b>2</b> (n=11)    | <b>3</b> (n=15)     | <b>4</b> (n=9)      |
|---------------------------|--------------------|--------------------|---------------------|---------------------|
| Alter (Jahre)             | 37 ( $\pm 10,5$ )  | 38 ( $\pm 9,8$ )   | 48 ( $\pm 8,8$ )    | 50 ( $\pm 16$ )     |
| Männer                    | 5                  | 9                  | 15                  | 8                   |
| Frauen                    | 5                  | 2                  | 0                   | 1                   |
| BMI                       | 23 ( $\pm 1,9$ )   | 24 ( $\pm 2,9$ )   | 25 ( $\pm 4,3$ )    | 23 ( $\pm 2,6$ )    |
| CD4 Zellen (mio/ $\mu$ l) | –                  | 418 ( $\pm 130$ )  | 377 ( $\pm 132$ )   | 472 ( $\pm 247$ )   |
| HIV Infektion (Jahre)     | –                  | 5 ( $\pm 6,2$ )    | 10 ( $\pm 5,4$ )    | 8 ( $\pm 4,4$ )     |
| HAART (Jahre)             | –                  | –                  | 5 ( $\pm 3,2$ )     | 5 ( $\pm 4,3$ )     |
| Lipodystrophie            | –                  | –                  | 4                   | 2                   |
| Hepatitis B               | –                  | 2                  | –                   | 1                   |
| Hepatitis C               | –                  | 1                  | –                   | –                   |
| Laktat baseline (mmol/l)  | 1,4 ( $\pm 0,4$ )  | 1,5 ( $\pm 0,6$ )  | 1,5 ( $\pm 0,3$ )   | 2,8 ( $\pm 0,5$ )   |
| GOT (U/l)                 | 10 ( $\pm 3,7$ )   | 13 ( $\pm 4,5$ )   | 17 ( $\pm 18$ )     | 11 ( $\pm 2,7$ )    |
| GPT (U/l)                 | 15 ( $\pm 9,8$ )   | 20 ( $\pm 11,6$ )  | 22 ( $\pm 10,9$ )   | 19 ( $\pm 8,4$ )    |
| GGT (U/l)                 | 11 ( $\pm 2,9$ )   | 20 ( $\pm 18$ )    | 41 ( $\pm 25,2$ )   | 45 ( $\pm 31,7$ )   |
| AP (U/l)                  | 83 ( $\pm 24,4$ )  | 86 ( $\pm 23,8$ )  | 110 ( $\pm 40,8$ )  | 99 ( $\pm 26,6$ )   |
| Cholesterin (mg/dl)       | 186 ( $\pm 38,7$ ) | 167 ( $\pm 29,4$ ) | 217 ( $\pm 58,2$ )  | 220 ( $\pm 51,4$ )  |
| Triglyceride (mg/dl)      | 104 ( $\pm 34,6$ ) | 109 ( $\pm 54,4$ ) | 227 ( $\pm 197,7$ ) | 498 ( $\pm 556,5$ ) |

Der Anteil von drei Frauen im Gesamtpatientenkollektiv von 35 entspricht weitestgehend der epidemiologischen Geschlechterverteilung bei HIV-Patienten in Deutschland.

Der Body-Mass-Index (BMI) wird errechnet nach der Formel Körpergewicht (kg) dividiert durch Körpergröße<sup>2</sup> (m<sup>2</sup>). Die Gruppen 1-4 lagen mit ihrem durchschnittlichen BMI von 23

$\pm 1.9$ ,  $24 \pm 2.9$ ,  $25 \pm 4.3$  und  $23 \pm 2.6$  im Normbereich ( $20\text{-}25 \text{ kg/m}^2$ ) und unterschieden sich nicht signifikant voneinander.

Nach Befragung, klinischer Beurteilung sowie Auswertung des Aktivitätsfragebogens erwiesen sich die Probanden aus Gruppe 1-3 als vergleichbar hinsichtlich ihres Trainingszustandes. Mit einem Punktescore im Test von im Mittel  $67 \pm 14$  in Gruppe 1,  $59 \pm 22$  in Gruppe 2 und  $55 \pm 19$  in Gruppe 3 konnte kein deutlicher Unterschied festgestellt werden und die Probanden erwiesen sich als mittelaktiv. Für die Patienten aus Gruppe 4 errechnete sich ein Wert von durchschnittlich  $53 \pm 19$  Punkten. Die Patienten waren im Mittel körperlich weniger fit und im Allgemeinzustand leicht eingeschränkt.

Die Diagnose der HIV-Infektion war im Mittel  $5 \pm 6,2$  in Gruppe 2,  $10 \pm 5,4$  in Gruppe 3 und  $8 \pm 4,4$  Jahre in Gruppe 4 bekannt. Die Patienten aus Gruppe 3 und 4 waren jeweils durchschnittlich fünf Jahre unter HAART. Die Therapieschemata zum Zeitpunkt der Studie (siehe Tabelle 2) zeigt eine ähnliche Verteilung der Einzelkomponenten der Kombinationstherapie. Die Exposition antiretroviraler Medikamente war in den Gruppen 3 und 4 nicht signifikant unterschiedlich, weder was die Therapiedauer, die insgesamt jemals verwendete Anzahl antiretroviraler Medikamente, noch die Anzahl der bereits eingenommenen Nukleoside betrifft. Zwei Patienten aus Gruppe 3 ( $n=15$ ) und vier aus Gruppe 4 ( $n=9$ ) nahmen die Kombination von Didanosin und Stavudin. Alle therapierten Patienten aus Gruppe 3 und 4 waren zum Zeitpunkt der Studie bereits mit NRTIs behandelt worden.

Die klinischen Zeichen einer Lipodystrophie wiesen in Gruppe 3 vier Patienten, in Gruppe 4 zwei Patienten auf.

Tabelle 2: Medikation zum Zeitpunkt der Studie in Gruppe 3 und 4: Anzahl der therapierten Patienten (%).

|                      | Gruppe 3 | Gruppe 4 | Gesamt  |
|----------------------|----------|----------|---------|
| Stavudine            | 8 (53)   | 4 (44)   | 12 (50) |
| Lamivudine           | 8 (53)   | 3 (33)   | 11 (46) |
| Didanosine           | 3 (20)   | 4 (44)   | 7 (29)  |
| Zidovudine           | 3 (20)   | 2 (22)   | 5 (21)  |
| Abacavir             | 3 (20)   | 1 (11)   | 4 (17)  |
| Nevirapin            | 5 (33)   | 3 (33)   | 8 (33)  |
| Efavirenz            | 3 (20)   | 1 (11)   | 4 (20)  |
| Lopinavir            | 3 (20)   | 3 (33)   | 6 (25)  |
| Nelfinavir           | 3 (20)   | 2 (22)   | 5 (21)  |
| Saquinavir           | 2 (13)   | 1 (11)   | 3 (13)  |
| Didanosine+Stavudine | 2 (13)   | 4 (44)   | 6 (25)  |

Bei zwei Patienten aus Gruppe 2 war eine chronische Hepatitis B, bei einem eine chronische Hepatitis C bekannt. Ein weiterer Patient aus Gruppe 4 hatte eine Hepatitis C-Koinfektion.

Anhand der Leberfunktionsparameter konnte kein signifikanter Unterschied zwischen den Gruppen gefunden werden. Die Transaminase GOT lag mit  $10 \pm 3.7$  in Gruppe 1,  $13 \pm 4.5$  in Gruppe 2,  $17 \pm 18$  in Gruppe 3 und  $11 \pm 2.7$  U/l in Gruppe 4 im Normbereich ( $<19$  U/l). Ebenso GPT (Normbereich  $<24$  U/l) mit  $15 \pm 9.8$ ,  $20 \pm 11.6$ ,  $22 \pm 10.9$  und  $19 \pm 8.4$  U/l und die alkalische Phosphatase (Referenzbereich 60-190 U/l) mit  $83 \pm 24.4$ ,  $86 \pm 23.8$ ,  $110 \pm 40.8$  und  $99 \pm 26.6$ . Ein tendenzieller, wenngleich statistisch nicht signifikanter, Unterschied wurde bei der GGT (Normwert  $<28$  U/l) gefunden. Die Probanden aus Gruppe 1 lagen bei  $11 \pm 2.9$ , die aus Gruppe 2 bei  $20 \pm 18$  U/l. Oberhalb des Referenzbereiches lagen die Gruppe 3 mit im Mittel  $41 \pm 25.2$  sowie die Gruppe 4 mit  $45 \pm 31.7$  U/l.

Die Cholesterinwerte lagen in Gruppe 1 bei  $186 \pm 38.7$ , in Gruppe 2 bei  $167 \pm 29.4$  mg/dl und waren somit im Normbereich von  $<200$  mg/dl. Die Probanden aus Gruppe 3 und 4 wiesen mit durchschnittlich  $217 \pm 58.2$  beziehungsweise  $220 \pm 51.4$  mg/dl leicht erhöhte Werte auf.

Ein ähnliches Bild zeigt sich bezüglich der Triglyceridparameter: mit  $104 \pm 34.6$  und  $109 \pm 54.4$  liegen Gruppe 1 und 2 innerhalb und Gruppe 3 und 4 mit  $227 \pm 197.7$  und  $498 \pm 556.5$  mg/dl außerhalb des Normbereiches für Triglyceride von 50-200 mg/dl.



### 3.2. Belastungsprotokoll

In der folgenden Tabelle sind die Durchschnittswerte der Leistung in Watt mit den jeweiligen Maximalwerten und die Herzfrequenz in den vier Gruppen aufgeführt.

Tabelle 3: Leistung in Watt, Maximalleistung und Herzfrequenz im Mittel  $\pm$  Standardabweichung in den Gruppen 1-4.

|                 | <b>Watt</b>  | <b>Maximum</b> | <b>Puls</b>  |
|-----------------|--------------|----------------|--------------|
| <b>Gruppe 1</b> | 154 $\pm$ 57 | 169 $\pm$ 51   | 158 $\pm$ 12 |
| <b>Gruppe 2</b> | 131 $\pm$ 37 | 145 $\pm$ 38   | 157 $\pm$ 8  |
| <b>Gruppe 3</b> | 121 $\pm$ 34 | 141 $\pm$ 37   | 144 $\pm$ 14 |
| <b>Gruppe 4</b> | 99 $\pm$ 24  | 122 $\pm$ 26   | 142 $\pm$ 24 |

Die Belastungsdauer der Probanden betrug insgesamt 15 Minuten: etwa fünf Minuten bis zum Erreichen der Zielherzfrequenz von 200 minus Lebensalter gefolgt von einer konstanten submaximalen Belastung für zehn Minuten. Darunter lag die durchschnittliche Leistung der gesunden Kontrollpersonen in den zehn Minuten bei 154  $\pm$ 56.6 mit einer mittleren Maximalleistung von 169  $\pm$ 51 Watt. Die mittlere Herzfrequenz lag bei 158  $\pm$ 12/min. In der Gruppe 2 lag die mittlere Leistung etwas niedriger bei 131  $\pm$ 37.1 Watt und maximal bei 145  $\pm$ 38 Watt, bei einer mittleren Herzfrequenz von 157  $\pm$ 8 /min. Die Patienten aus Gruppe 3 erbrachten eine Leistung von 121  $\pm$ 33.8, 141  $\pm$ 37 Watt im Maximum und eine Pulsfrequenz von 144  $\pm$ 14/min. Im Vergleich zu den Gruppen 1-3 unterschieden sich die Patienten aus Gruppe 4 in ihrer erbrachten mittleren Leistung von 99  $\pm$ 23.7 und einem Maximum von 122  $\pm$ 26 Watt signifikant. Die mittlere Herzfrequenz lag bei 142  $\pm$ 24/min.

### 3.3. Laktatmetabolismus

Jeweils für die Gruppen 1-4 sind in Tabelle 4 die Mittelwerte für Laktat zu den sieben Messpunkten dargestellt. Die Kurven in den Abbildungen 6-9 zeigen den graphisch dargestellten Verlauf der Laktatwerte in der jeweiligen Gruppe.

Tabelle 4: Mittelwerte  $\pm$  Standardabweichung für Laktat (mmol/l) zu den Messpunkten -15, 0, 15, 30, 45, 60 und 120 Minuten in den Gruppen 1-4.

|                 | -15           | 0              | 15            | 30            | 45            | 60            | 120           |
|-----------------|---------------|----------------|---------------|---------------|---------------|---------------|---------------|
| <b>Gruppe 1</b> | 1.4 $\pm$ 0.4 | 9.7 $\pm$ 3.2  | 3.8 $\pm$ 1.5 | 2.2 $\pm$ 0.7 | 1.9 $\pm$ 0.5 | 1.7 $\pm$ 0.3 | 1.4 $\pm$ 0.3 |
| <b>Gruppe 2</b> | 1.5 $\pm$ 0.6 | 9.4 $\pm$ 3.7  | 5.1 $\pm$ 3.7 | 3.1 $\pm$ 1.5 | 2.3 $\pm$ 1.0 | 2.0 $\pm$ 0.7 | 1.6 $\pm$ 0.6 |
| <b>Gruppe 3</b> | 1.5 $\pm$ 0.3 | 9.0 $\pm$ 2.8  | 5.3 $\pm$ 2.6 | 3.2 $\pm$ 1.3 | 2.5 $\pm$ 0.9 | 2.2 $\pm$ 0.6 | 1.7 $\pm$ 0.7 |
| <b>Gruppe 4</b> | 2.8 $\pm$ 0.5 | 10.1 $\pm$ 2.2 | 6.8 $\pm$ 2.4 | 5.1 $\pm$ 1.9 | 4.2 $\pm$ 1.6 | 3.7 $\pm$ 1.4 | 3.1 $\pm$ 1.1 |

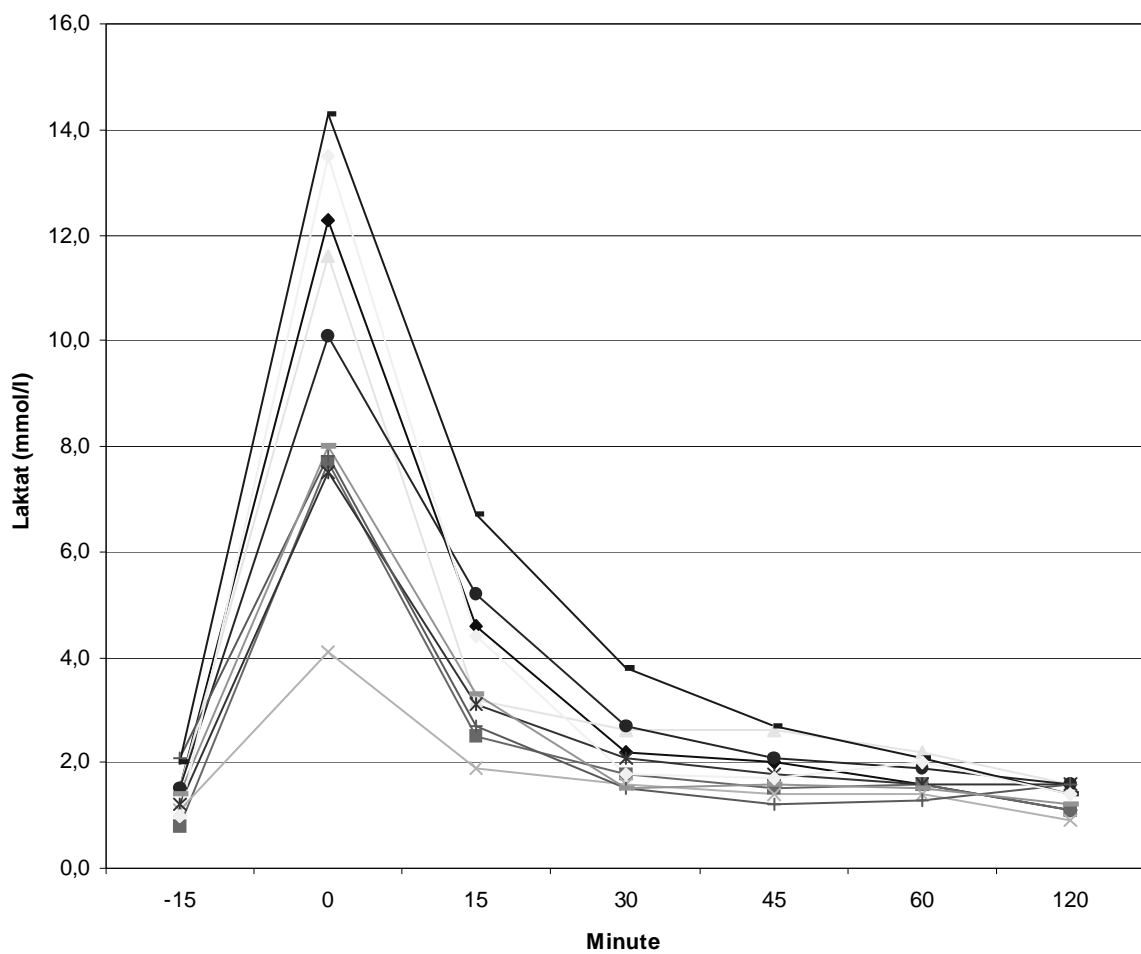


Abb.6: Messwerte von Laktat zu den Zeitpunkten 15 Minuten vor (-15), im Anschluss an (0) und 15, 30, 45, 60, 120 Minuten nach der Belastung bei den Patienten 1-10 der Kontrollgruppe (Gruppe 1).

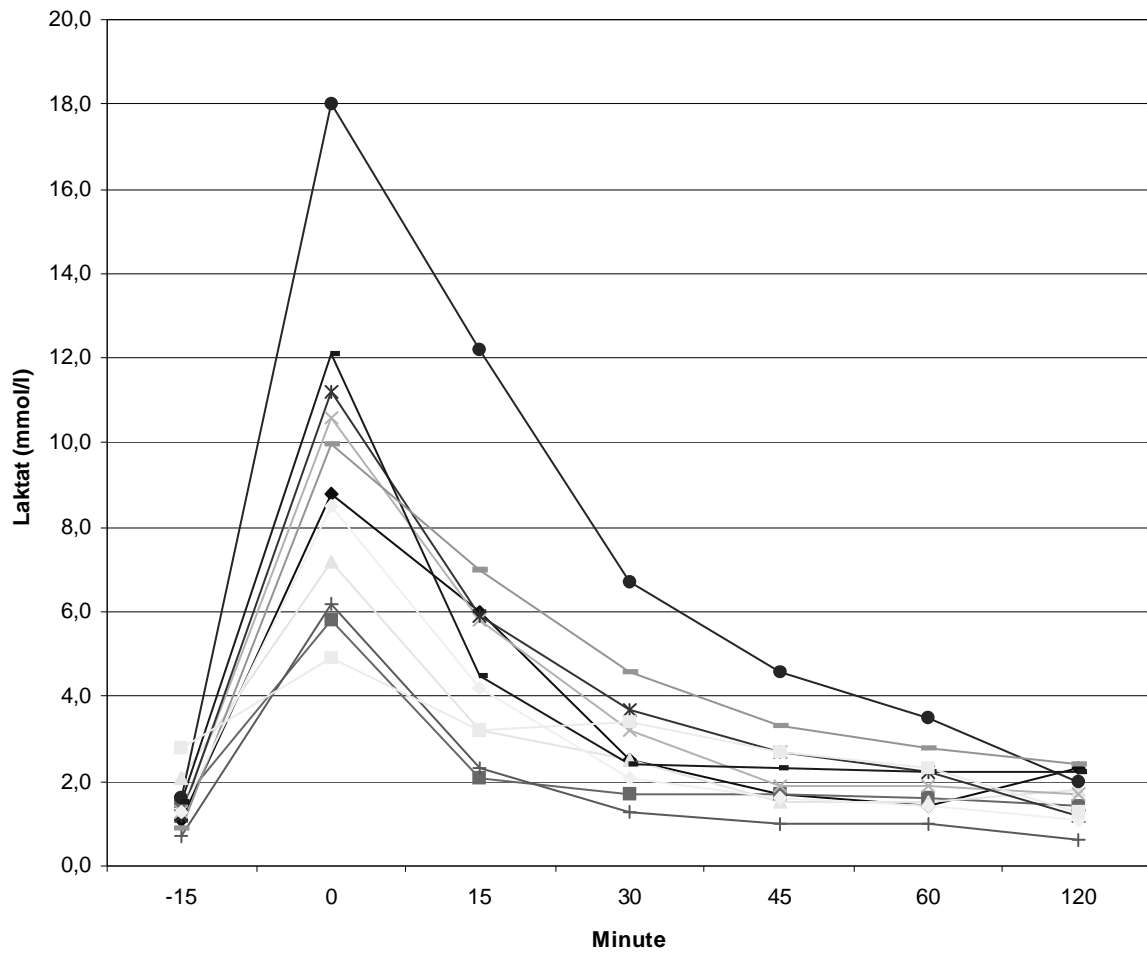


Abb.7: Laktatkinetik der Patienten 1-11 aus Gruppe 2. Messwerte von Laktat zu den Zeitpunkten 15 Minuten vor (-15), im Anschluss an (0) und 15, 30, 45, 60, 120 Minuten nach der Belastung.

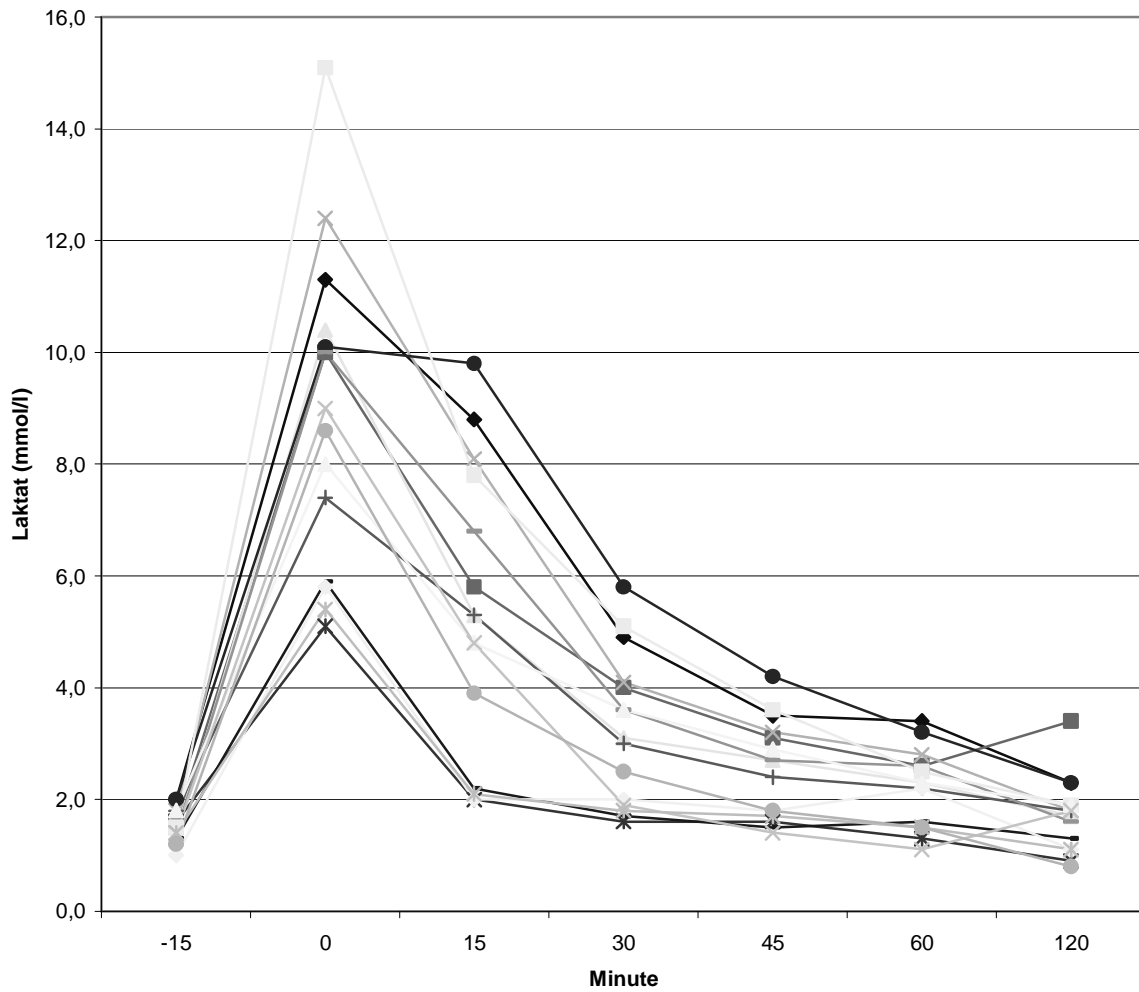


Abb.8: Laktatkinetik der Patienten 1-15 aus Gruppe 3. Messwerte von Laktat zu den Zeitpunkten 15 Minuten vor (-15), im Anschluss an (0) und 15, 30, 45, 60, 120 Minuten nach der Belastung.

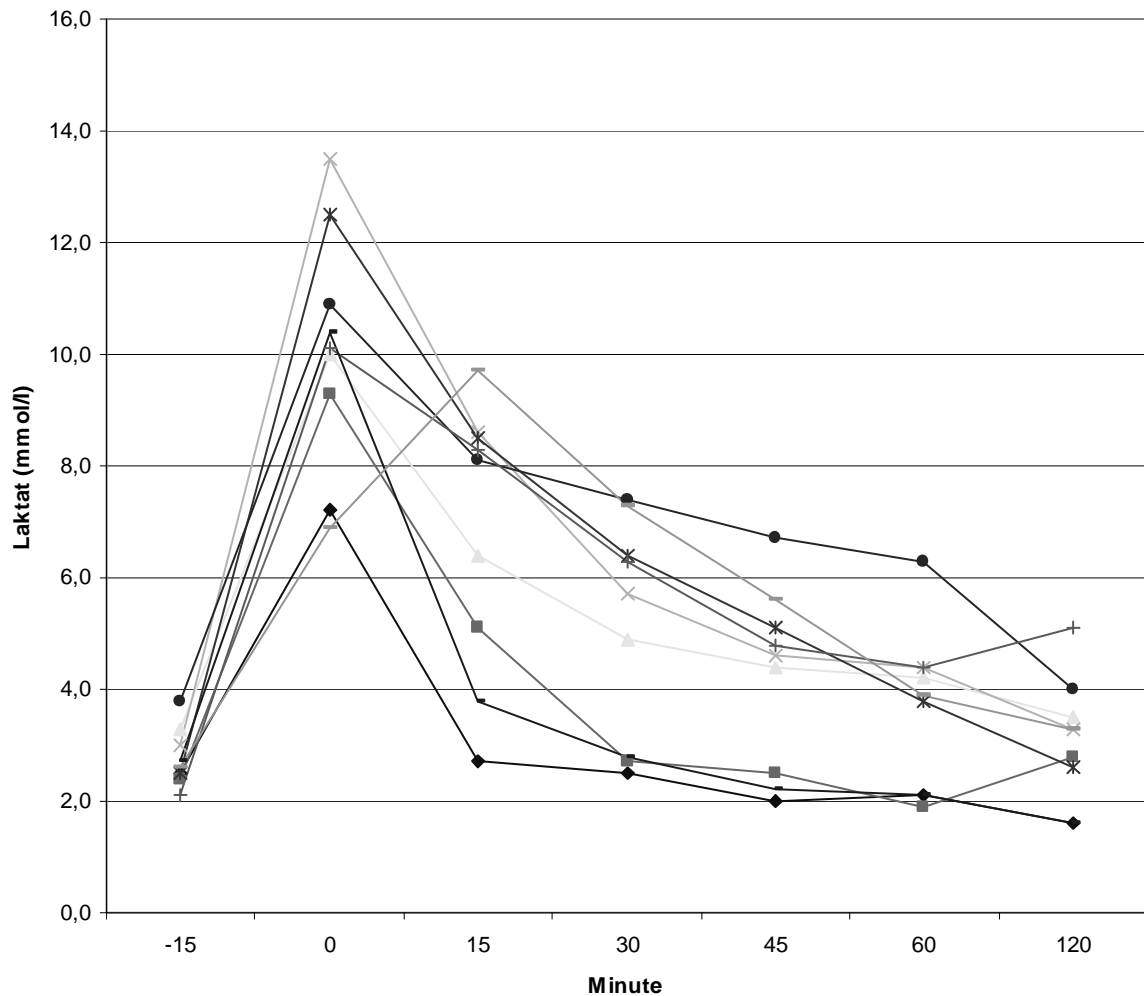


Abb. 9: Laktatkinetik der Patienten 1-9 aus Gruppe 4. Messwerte von Laktat zu den Zeitpunkten 15 Minuten vor (-15), im Anschluss an (0) und 15, 30, 45, 60, 120 Minuten nach der Belastung.

Die Ausgangslaktatwerte lagen mit im Mittel  $1.4 \pm 0.4$  mmol/l in der Kontrollgruppe und  $1.5 \pm 0.6$  und  $1.5 \pm 0.3$  mmol/l in Gruppe 1 und 2 im definierten Normbereich für Laktat von 0.7-2.0 mmol/l und unterschieden sich nur geringfügig voneinander. Die Patienten mit der bestehenden Hyperlaktatämie in Gruppe 4 waren mit einem Baseline-Laktatwert von  $2.8 \pm 0.5$  40% über dem Normwert.

Direkt im Anschluss an die Belastung wurden folgende Werte für Laktat gemessen:  $9.7 \pm 3.2$  in Gruppe 1,  $9.4 \pm 3.7$  in der therapienaiven Gruppe und  $9.0 \pm 2.8$  in der Gruppe unter HAART und normalem Baseline-Laktat. Der Laktatanstieg bei den Patienten aus der Gruppe 4 lag mit

10.1 ±2.2 mmol/l höher als in den drei Vergleichsgruppen. Dennoch unterscheiden sich die Maximalwerte nur unbedeutend voneinander. Zieht man allerdings in Betracht, dass die von Gruppe 4 erbrachte Leistung von 99 Watt nur etwa 2/3 der Leistung von Gruppe 1 bzw. 3/4 der Leistung von Gruppe 2 und 3 entspricht, kann man schlussfolgern, dass die Patienten aus Gruppe 4 mehr Laktat produzieren, obwohl sie weniger Leistung erbringen.

Zum Vergleich des prozentuellen Abfalls des Laktatspiegels zu den jeweiligen Messzeiten sind die Werte aus den vier Gruppen in Tabelle 5 und die dazugehörigen Diagramme in den Abbildungen 10-14 dargestellt.

Tabelle 5: Prozentueller Abfall von Laktat jeweils vom Maximum nach 10 Minuten Belastung (% ± Standardabweichung).

| Minute | 1         | 2          | 3          | 4          |
|--------|-----------|------------|------------|------------|
| 15     | 60.8 ±7.6 | 47.0 ±13.3 | 43.4 ±17.3 | 30.9 ±30.9 |
| 30     | 76.5 ±7.1 | 66.0 ±13.9 | 64.2 ±8.6  | 47.9 ±24.5 |
| 45     | 79.6 ±5.9 | 74.6 ±11.1 | 71.3 ±6.3  | 57.2 ±19.0 |
| 60     | 80.8 ±5.9 | 77.5 ±9.1  | 74.6 ±6.5  | 63.0 ±14.0 |
| 120    | 84.8 ±4.8 | 81.4 ±6.8  | 80.5 ± 5.8 | 68.6 ±12.1 |

Der Laktatfall in der Gruppe 1 gestaltete sich wie folgt: mit einem prozentuellen Abfall von bereits 60.8% in den 15 Minuten nach Belastung fielen die Laktatkurven steil ab. Nach 45, spätestens nach 60 Minuten wurde der Ausgangswert wieder erreicht. Zwei Stunden nach der Belastung ergab die Laktatbestimmung für Gruppe 1, einer vollständigen Normalisierung des Plasma-Laktatspiegels entsprechend, im Mittel 1.4 ±0.3 mmol/l.

Die Gruppe 2 fällt in ihrer Laktatkurve im Vergleich zu Gruppe 1 etwas flacher ab. Nach 15 Minuten ist der Laktatspiegel um 47.0% gesunken, nach 30 Minuten 66.0%, nach 45 Minuten 74.6%. Mit einem Wert von 1.6 ±0.6 mmol/l 120 Minuten nach der Belastung wird der Ausgangswert von 1.5 mmol/l knapp erreicht (siehe Abb.15).

Aus Abbildung 15 kann man entnehmen, dass sich in Gruppe 3 der Abfall in seiner Kinetik im Vergleich zu Gruppe 2 kaum unterscheidet. Dennoch ist er flacher als in Gruppe 1: ein 43.4%iger Abfall nach 15 Minuten, 64.2% nach 30, 71.3% nach 45 Minuten. Der Ausgangslaktatwert von 1.5 mmol/l wird mit 1.7 ±0.7 mmol/l zwei Stunden nach Belastung fast erreicht.

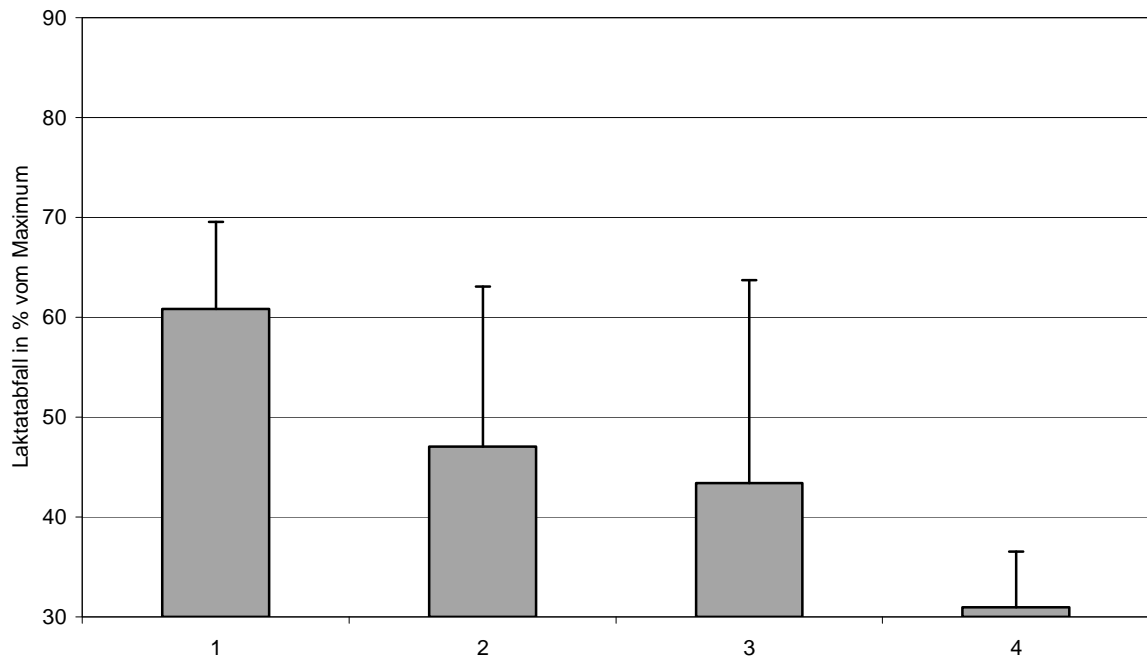


Abbildung 10: Prozentueller Abfall von Laktat 15 Minuten nach Belastungsende in den Gruppen 1-4.

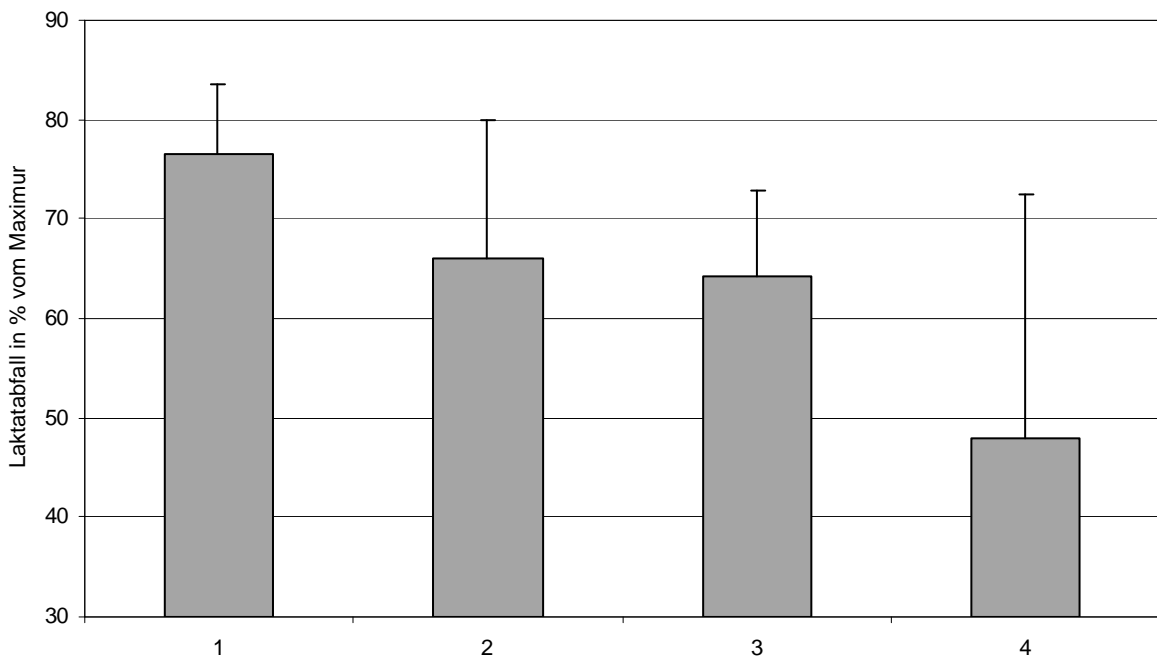


Abbildung 11: Prozentueller Abfall von Laktat 30 Minuten nach Belastungsende in den Gruppen 1-4.

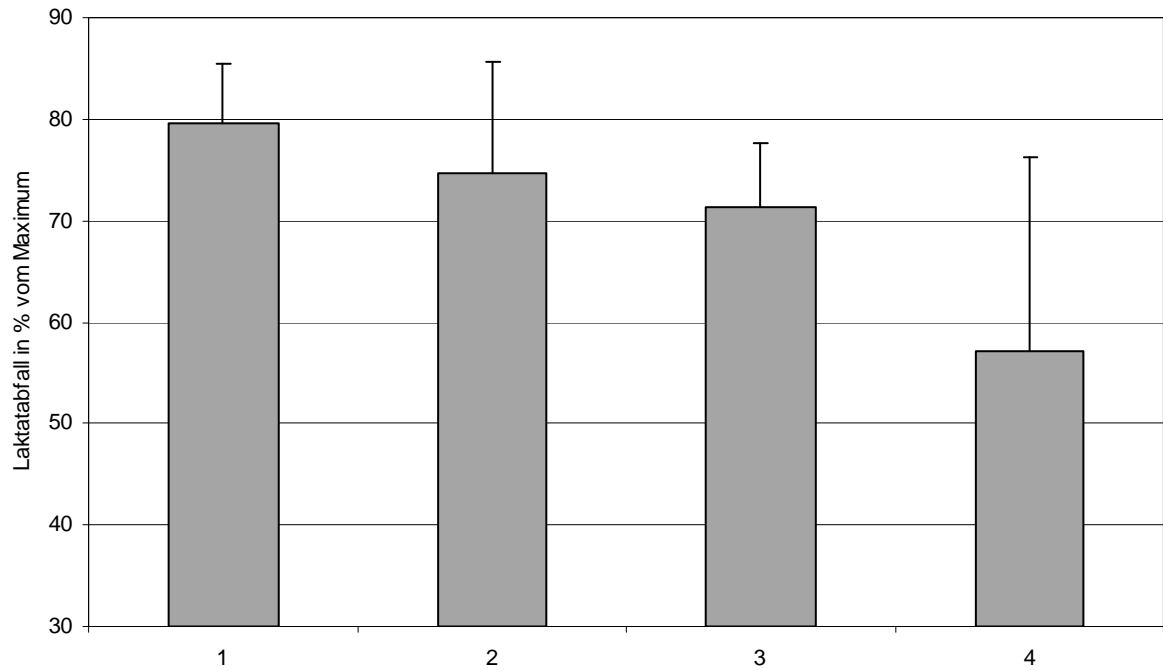


Abbildung 12: Prozentueller Abfall von Laktat 45 Minuten nach Belastungsende in den Gruppen 1-4.

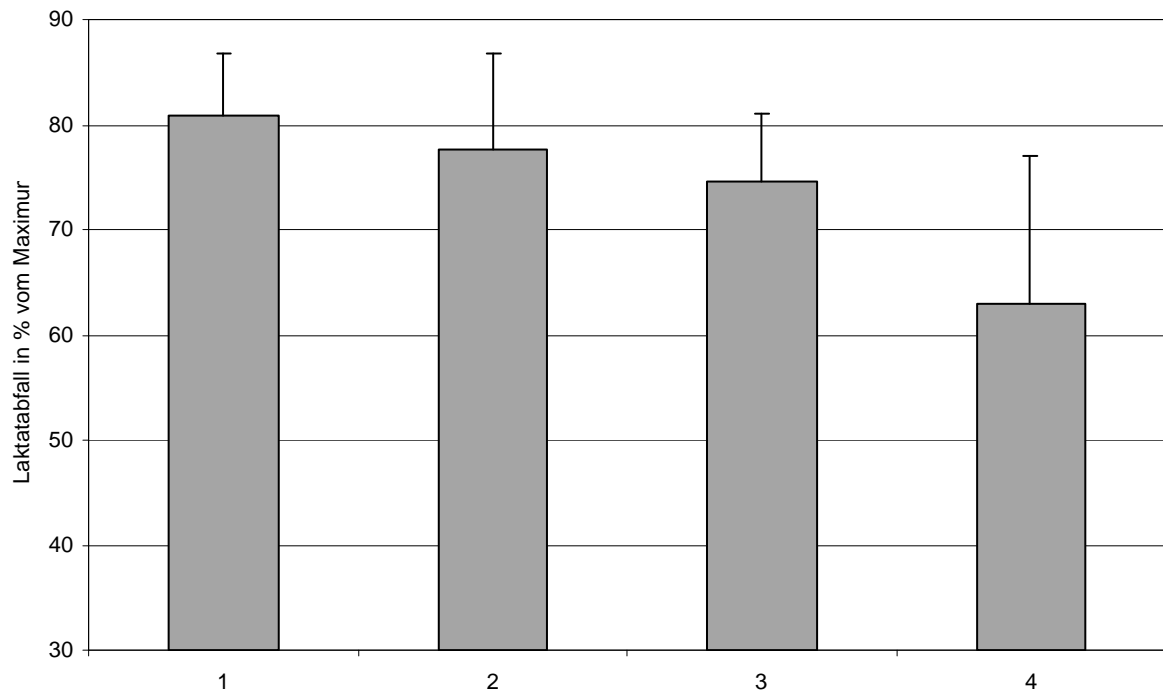


Abbildung 13: Prozentueller Abfall von Laktat 60 Minuten nach Belastungsende in den Gruppen 1-4.



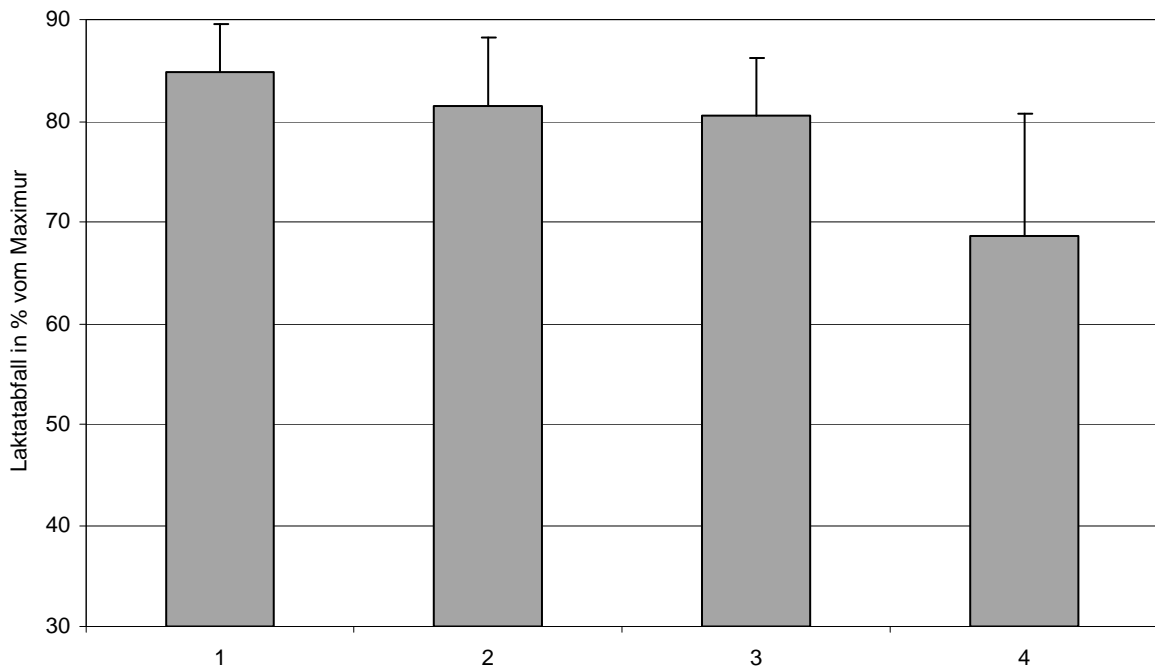


Abbildung 14: Prozentueller Abfall von Laktat 120 Minuten nach Belastungsende in den Gruppen 1-4.

Die Patienten mit dem bereits erhöhten Ausgangslaktat fallen im Vergleich zu allen anderen Probanden am langsamsten mit ihren Laktatwerten ab: 30.9% in 15 Minuten, 47.9% nach 30, 57.2% nach 45 Minuten. Nach 63.0% nach 60 und schließlich 68.6% nach 120 Minuten erreichen sie mit im Mittel  $3.1 \pm 1.11$  mmol/l ihren Ausgangslaktatwert nicht wieder.

Im Post-Hoc-Test für Mehrfachvergleiche nach Bonferroni unterscheiden sich Gruppe 1 und 4 im prozentuellen Abfall zu allen Messpunkten signifikant voneinander ( $p < 0.01$ ). Gruppe 2 und 4 unterscheiden sich von Minute 35, 60 und 120 signifikant voneinander ( $p < 0.05$ ). Der Unterschied zwischen Gruppe 3 und 4 ist ab Minute 45 zu allen Messpunkten signifikant ( $p < 0.05$ ). In der Oneway Anova Analyse zeigt sich in allen Messpunkten ein signifikanter Unterschied zwischen den Gruppen ( $p < 0.01$ ).

Abb. 15 zeigt eine Zusammenfassung aller Laktatmittelwerte in den Gruppen 1-4.

Um den Laktatabfall besser vergleichen zu können, wurde unter diesen Kurven die Fläche mathematisch bestimmt. Die Ergebnisse sind in Abbildung 16 dargestellt.

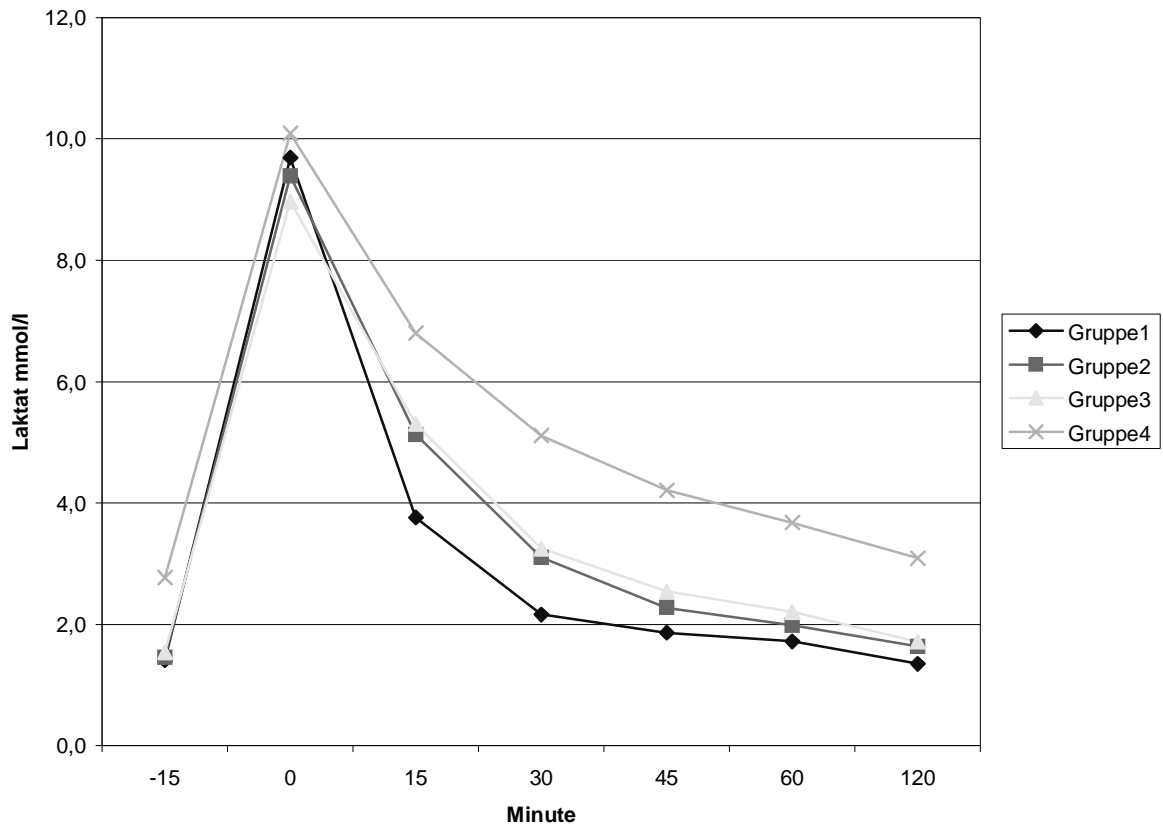


Abb.15: Mittelwerte der Laktatmessungen zu den Zeitpunkten -15, 0, 15, 30, 45, 60 und 120 Minuten in den Gruppen 1-4.

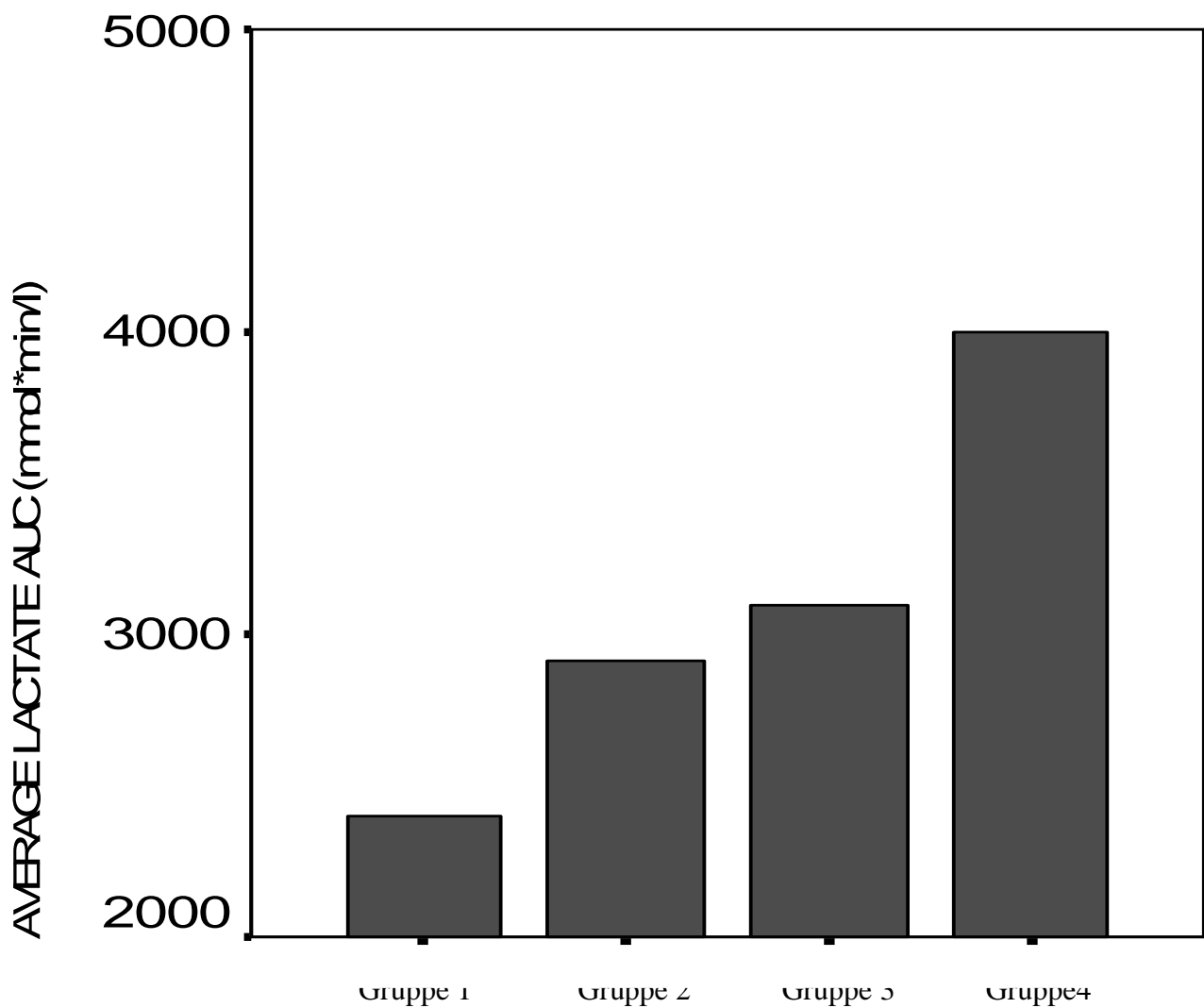


Abb. 16: Area under the curve (AUC) der Gruppen 1-4 zeigt die mittlere Fläche unter den Kurven in den jeweiligen Gruppen 1-4 aus Abbildung 15.

Dabei fanden sich folgende Unterschiede: Gruppe 1 und 2 scheinen Unterschiede in ihrer Laktatclearance aufzuweisen ( $p=0.038$ ). Die Fläche unter der Kurve ist mehr als doppelt so groß. Ebenso findet sich ein signifikanter Unterschied zwischen den Gruppen 3 und 4 ( $p=0.028$ ). Zwischen den therapienaiven Patienten aus Gruppe 2 und den Patienten unter HAART mit nicht erhöhtem Baselinelaktat (Gruppe 3) fand sich statistisch kein signifikanter Unterschied in der AUC, wenngleich in Gruppe 3 eine leichte Tendenz zu einer größeren Fläche als in Gruppe 2 zu beobachten ist.

#### **4. Diskussion und Ausblick**

Die Steilheit und somit die Geschwindigkeit des Laktatabfalls unterschied sich zwischen den gesunden Kontrollpersonen aus Gruppe 1 signifikant von der HIV-infizierter Patienten, die nicht unter HAART standen. Durch die Abwesenheit eines diesen Unterschied erklärenden toxischen Agens wie NRTIs, andere Medikamente oder Noxen wie Alkohol, kann man postulieren, dass das HI-Virus selbst Einfluss auf den Laktatstoffwechsel nimmt. Eine Erklärung könnte sein, dass das Virus direkt mitochondriale DNA schädigt und durch Depletionen zu Beeinträchtigung der Enzymfunktionen führt. McComsey et al. stellten fest, dass periphere Blutzellen sowohl Gesunder, als auch von HIV-infizierten, therapie-naiven Patienten oder Patienten unter Langzeit-HAART und Lipoatrophie unterschiedliche Variationen und Punktmutationen in der mtDNA aufweisen. Sie stellten die Hypothese auf, dass präexistente und somit zu subtilen Effekten auf die Atmungskette führenden mtDNA Variationen durch die HIV-Infektion an sich oder NRTIs klinische Relevanz bekommen, indem sie letztere potenzieren oder demaskieren. Diese DNA-Veränderungen könnten mit der Zeit akkumulieren, zu einer Störung in der mitochondrialen Funktion in der oxydativen Phosphorylierung führen und schließlich das Auftreten von klinischen Symptomen fördern (104). Anhand von in vitro Versuchen konnte eine direkte Toxizität von HIV-Proteinen auf mitochondriale DNA nachgewiesen werden. Das HIV-1 Protein Vpr führte in *Sacharomyces Cerevisiae* Hefezellen zu mitochondrialer Dysfunktion. Fraglich potenziert HIV selbst durch direkte Toxizität bereits vorhandene mitochondriale Schäden oder generiert diese neu (105;106). Die Arbeitsgruppe um Jacotot identifizierte das HIV-1 eigene Vpr-Protein als einen Apoptose induzierenden Faktor bei Mitochondrien: über eine direkte Wirkung an einem Permeabilitätskanal kommt es zum Untergang der Zellorganellen (107). In einer von Moyle et al. veröffentlichten Studie kam es bei den 349 untersuchten HIV-infizierten Patienten zu fünf Fällen einer schweren Hyperlaktatämie (91). Davon waren zwei ohne antiretrovirale Therapie. Neben einem Malignom, Multiorganversagen, einer Kardiomyopathie und opportunistischen Infektionen mag möglicherweise auch, eine wenngleich klinisch davor noch nicht relevante, durch HIV induzierte mitochondriale Funktionsstörung als zusätzlicher Trigger zur Entwicklung einer Laktatazidose beigetragen haben. Man kennt direkt durch die HIV-Infektion hervorgerufene Krankheitsbilder wie die Myopathie oder Kardiomyopathie (24;108-110). Möglicherweise trägt die HIV-Infektion selbst auch zur Entwicklung einer Hyperlaktatämie bei. Der Unterschied im Laktatabfall zwischen den gesunden Kontrollen und den therapie-naiven Patienten ist eventuell dadurch zu erklären, dass bei den Probanden aus

Gruppe 4 bereits subtile Veränderungen im Energiestoffwechsel bestanden und diese durch körperliche Belastung, was einem Mehrbedarf an Energiebereitstellung durch oxydative Phosphorylierung entspricht, demaskiert wurden.

Im Vergleich zur Kontrollgruppe war in allen anderen Gruppen der Laktatabfall flacher. In der Gruppe 4 resultierte das erhöhte Baselineaktat und ein moderater Anstieg nach der Belastung in einer verzögerten Laktatclearance. Diese Patienten erreichten ihren Ausgangswert 120 Minuten nach Ergometertest nicht wieder. Dies deutet darauf hin, dass die Hyperlaktatämie eher auf eine Abbaustörung denn auf eine primäre Überproduktion zurückzuführen zu sein scheint. Nach einer akuten Erhöhung des Laktatspiegels wie es nach körperlicher Anstrengung vorkommt, wird durch eine effektive Clearance die Homöostase sehr rasch wieder erreicht. Eine erhöhte Laktatproduktion kann entweder durch anaerobe Glykolyse oder durch einen Defekt in der oxydativen Phosphorylierung im peripheren Gewebe (z.B. Muskel) auftreten. Brinkman et al. (72) zufolge scheint eine persistierende Hyperlaktatämie, wie sie als Nebenwirkung der NRTIs auftritt, allerdings eher eine beeinträchtigte Clearance von Laktat zu reflektieren. Nachdem die Laktatutilisation in der Leber von einem funktionierenden oxydativen Phosphorylierungssystem der Mitochondrien abhängt, kann eine gestörte Laktatclearance mit einer mitochondrialen Dysfunktion der Hepatozyten zu erklären sein. Patienten mit einer HIV-Infektion können verschiedene Gründe für eine eingeschränkte Leberfunktion haben: NRTI-induzierte Effekte auf die Mitochondrien, Dyslipidämie, Insulinresistenz, Steatosis Hepatis, direkte toxische Wirkungen anderer Medikamente (Valproat, Metformin, Nichtsteroidale antiinflammatorische Medikamente), Alkoholabusus oder Hepatitis B oder C Koinfektionen (65). Durch histopathologische Untersuchung von Leberbiopsien von HIV-infizierten Patienten unter HAART konnte eine hepatische Dysfunktion durch den Nachweis einer mikrovesikulären Steatose gezeigt werden. Eine gestörte  $\beta$ -Oxidation freier Fettsäuren ist ebenfalls auf eine beeinträchtigte oxydative Phosphorylierung zurückzuführen (111). Lonergan et al. zeigte ebenfalls klare Abnormitäten in der Leberfunktion bei Patienten mit persistierender Hyperlaktatämie: von den sechs Patienten, die sich einer Leberbiopsie unterzogen, wiesen fünf Patienten eine mikrovesikuläre oder gemischte hepatische Steatose auf und der sechste hatte eine chronisch aktive Hepatitis B. Weitere fünf Patienten zeigten radiologisch nachgewiesene Veränderungen der Leber. Alle Patienten zeigten eine Erhöhung der Transaminasen. Des Weiteren fand sich bei allen elf Patienten nach dem Absetzen der NRTIs eine sehr langsame Normalisierung der Laktatwerte, was auf einen Defekt des normalen, schnellen Clearance-Mechanismus zurückzuführen ist

(67). In der Gruppe 4 wurden keine Leberfunktionseinschränkung gefunden: die Transaminasen GOT und GPT lagen im Normbereich. Eine Leberschädigung ist möglicherweise bisher nur moderat vorhanden und serologisch noch nicht nachzuweisen. Eine Leberbiopsie stellt zwar einen invasiven Eingriff dar, könnte allerdings weiterführende Erkenntnisse bringen über morphologisch zu objektivierende Veränderungen in den Mitochondrien.

Da sich die vier Gruppen vor allem in ihrem Laktatabfall nach der Belastung unterscheiden, kann man schlussfolgern, dass dies eher an einer Störung im Laktatabbau liegen muss. Dennoch ist es vielleicht eine Kombination aus beidem: einer Abbauverzögerung und einer Mehrproduktion von Laktat. Die Patienten aus Gruppe 4 erbrachten auf dem Fahrradergometer eine signifikant niedrigere Leistung im Vergleich zu den anderen Probanden. Dies mag verschiedene Gründe haben: die Patienten waren im Allgemeinzustand leicht eingeschränkt und dadurch vielleicht weniger leistungsfähig. Zudem unterscheiden sie sich hinsichtlich des Lebensalters und ihrer durchschnittlichen Fitness. Die Laktatwerte nach der Belastung lagen mit 10.1 mmol/l trotz der geringeren Leistung höher als in den Vergleichsgruppen (9.7, 9.4 und 9.0 mmol/l). In Relation dazu gesehen, stiegen die Patienten aus Gruppe 4 mit ihren Laktatwerten pro getretene Watt stärker an. Möglicherweise liegt dies an einer niedrigeren anaeroben Schwelle, das heißt, die Energiegewinnung durch anaerobe Glykolyse und somit die Produktion von Milchsäure setzt bereits bei einer niedrigeren Belastungsintensität ein. Dies kann zum einen daran liegen, dass die Patienten nicht so trainiert sind und dadurch die Mitochondriendichte im Skelettmuskel sowie die Verstoffwechslungskapazität von Laktat in der Leber geringer ist. Zum anderen ist möglicherweise die oxydative Phosphorylierungskapazität durch toxische Schäden an den Mitochondrien im Skelettmuskel vermindert, so dass ein durch Belastung entstehendes Energiedefizit durch anaerobe Stoffwechselprozesse ausgeglichen werden muss. Obwohl in der Literatur im Zusammenhang mit Hyperlaktatämie und Laktatazidose meist die herausragende Rolle der hepatischen Clearance betont wird, gibt es auch Hinweise auf die erhöhte Laktatproduktion als bedeutender Defekt in Fällen von chronischer Hyperlaktatämie. Nachweise von morphologischen Veränderungen an Mitochondrien induziert durch NRTIs führten zu einer Erhöhung der Laktatproduktion in vitro (112). Leclercq et al. untersuchten die mitochondriale Funktionsfähigkeit unter NRTIs und fanden dass Homöostase-Mechanismen im Laktatmetabolismus unter HAART hochreguliert sind. Dies führe dazu, dass durch eine Dysfunktion der hepatischen Mitochondrien ein Shift von hepatischem

Laktat-Verbrauch durch Glukoneogenese hin zu vermehrter Laktatproduktion stattfindet (113). Dies würde bedeuten, dass eine vermehrte Produktion von Laktat eines funktionierenden oxydativen Phosphorylierungsstoffwechsels bedarf, um Laktat abzubauen. Sollte in dem Bereich ein Defizit bestehen, käme es wiederum zu anaerober Energiegewinnung mit weiterem Anfall von Milchsäure. Somit ließe sich postulieren, dass eine kompensierte Hyperlaktatämie durch eine vermehrte Laktatproduktion und noch weitestgehend intakten Clearance-Mechanismen zustande kommt und es sich bei der Laktatazidose um eine bereits bestehende Hyperlaktatämie und ein dekompenziertes Homöostase-System handelt.

Anhand eines pharmakologischen Modells, einem sogenannten „Exogenous Lactate Challenge Test“ (ELECT) gingen Leclerc et al der Frage nach inwiefern Baselineaktat, Laktatproduktion und Clearance im Zusammenhang stehen. Dabei wurden HIV-Infizierte in drei Gruppen je nach Schwere klinischer Zeichen mitochondrialer Dysfunktion (wie Gewichtsverlust, Müdigkeit, Muskelschmerzen) eingeteilt und mit gesunden Kontrollen hinsichtlich der Laktatparameter untersucht. In der Gruppe der symptomatischen HIV-Patienten fanden sie eine vergleichsweise signifikante Erhöhung der Laktatproduktion, allerdings keinen Unterschied im hepatischen Abbau. Nach deren Ergebnissen sei die Hyperlaktatämie assoziiert mit einem Anstieg in der Laktatproduktion und nicht ein Resultat eingeschränkter Clearance (114).

Spätestens hier stellt sich die Frage nach der Gewebespezifität der toxischen Wirkungen antiretroviraler Medikamente, insbesondere der NRTIs. Die Diversität im Schweregrad der Toxizität kann durch einen gewebespezifischen Unterschied in der Zellteilung und der Produktion von mtDNA erklärt werden. Je nachdem ob es sich um ein proliferierendes Gewebe oder ein Gewebe mit niedrigem Zell-Turnover (wie zum Beispiel Nervenzellen) handelt, kam es durch NRTIs in vitro zu einer mehr oder weniger starken Abnahme des mtDNA-Gehalts der Zellen. Mariotti et al. fanden mtDNA Depletionen in Muskeln, nicht aber in Leukozyten oder Fibroblasten (115). Chariot et al. fanden mtDNA Depletionen in Skelettmuskel und Leber, nicht jedoch im Myokard oder in der Niere (116). Ebenso konnte gezeigt werden, dass die Konzentration der Medikamente ausschlaggebend ist, inwieweit sich die Toxizität manifestiert. Die jeweilige Potenz einer Medikamentes mtDNA-Synthese zu inhibieren variiert je nach Dosis und unterscheidet sich auch von Agens zu Agens. So genügt für Zalcitabin (ddC) bereits eine Dosis von 0.022  $\mu\text{mol/l}$ , für Stavudine (d4T) 3  $\mu\text{mol/l}$ , für Didanosin (ddI) 290  $\mu\text{mol/l}$  um den mtDNA Gehalt von CEM-Zellen nach vier Tagen

Medikamentenexposition um 50% zu reduzieren (im Vergleich dazu sind die therapeutischen Dosen für ddI und D4T bei 4  $\mu\text{mol/l}$ , für ddC bei 0.04  $\mu\text{mol/l}$ ) (112).

Zwischen der Gruppe 2, den HIV-infizierten Patienten ohne antiretrovirale Therapie und den Patienten aus Gruppe 3, die unter HAART ein normales Baselineaktat aufwiesen, haben wir in der Laktatkinetik keinen signifikanten Unterschied gefunden. Beide Gruppen haben einen vergleichbaren Trainingszustand sowie Allgemeinzustand und erreichten mit ähnlicher Leistung (131 und 121 Watt) einen entsprechenden Maximalwert von 9.4 bzw. 9.0 mmol/l Laktat nach Belastung. Der Laktatabfall erscheint in Gruppe 3 etwas flacher als in Gruppe 2, das Ausgangslaktat wird allerdings von beiden Gruppen knapp erreicht und auch die AUC unterscheidet sich kaum, so dass sich die Frage stellt, inwiefern die HAART Einfluss nimmt auf den Laktatmetabolismus. Möglicherweise sind die Veränderungen im Laktatstoffwechsel bei den Patienten aus Gruppe 3 noch moderat und nicht durch venöse Laktatmessungen nachweisbar. Ein effektives Laktatutilisierungssystem mag zudem dazu beitragen, dass die Homöostase gewährleistet ist, sollte eine kontinuierliche Überproduktion von Laktat der Fall sein. Eventuell sind allerdings die Fallzahlen zu gering um eine adäquate Aussage zu machen. Pathogenetisch zunehmend von Bedeutung ist die mitochondriale Toxizität bei Patienten mit Lipodystrophie. Roge et al. (117) untersuchten diesbezüglich acht HIV-positive Patienten mit den klinischen Zeichen einer Lipodystrophie oder einer bestehenden Hyperlaktatämie auf ihren Laktatstoffwechsel. Ebenfalls anhand einer Belastung auf dem Fahrradergometer wurden die Leistung, der Sauerstoffverbrauch und Laktat gemessen, wobei die Studie durch zusätzliche Muskelbiopsien ergänzt wurde. Dabei wurde die Belastungsdauer und -intensität vom Patienten je nach Fitness selbst gewählt. Die Patienten erbrachten eine signifikant niedrigere Leistung (in Watt), zeigten einen Trend zu einem niedrigerem Sauerstoffverbrauch im Vergleich zu einer gesunden Kontrollgruppe und die Maximalwerte nach Belastung unterschieden sich nicht in den beiden Gruppen. Allerdings ist es durch den andersartigen Versuchsablauf unklar, ob man die Ergebnisse vergleichen kann: die Belastungsdauer richtete sich nach dem jeweiligen Erschöpfungszeitpunkt des Probanden und war damit sowohl von der Motivation als auch vom Trainingszustand stark abhängig. Es ist unklar, ob die Probanden sich submaximal oder maximal belastet haben. Im Unterschied zu unseren Ergebnissen kam diese Arbeitsgruppe zu keinem Unterschied im Laktatabfall und konnte auch keine Veränderungen bezüglich der verglichenen Muskelbiopsien feststellen. Sowohl die Bestimmung von Citratsynthase, ein Enzym des Zitratzyklus, als auch Hydroxyacyl-Coenzym A, ein Enzym der Fettoxydation, sowie Inosinmonophosphat (IMP), Adenosinmonophosphat



(AMP), ADP, ATP und der Glykogengehalt erbrachte keine Erkenntnis bezüglich einer objektivierbaren Beeinträchtigung der Mitochondrienfunktion. Somit gab es im Skelettmuskel keinen Anhalt für gestörte oxydative Phosphorylierung und Glycolyse und ebenfalls keinen Hinweis auf mitochondriale Schädigung der Hepatozyten. Daraus wurde der Schluss gezogen, dass möglicherweise mitochondriale Defekte in anderen Geweben zu einer Hyperlaktatämie führen. Dass die Arbeitsgruppe um Roge et al. keinen Unterschied im Laktatabfall gefunden hat, mag allerdings an der Zusammensetzung der Probanden gelegen haben: von acht Patienten hatten sieben eine Lipodystrophie und nur zwei eine kontinuierliche Hyperlaktatämie. Bei den Patienten wurde in der Gruppeneinteilung kein Unterschied gemacht ob sie eine Laktaterhöhung, eine Lipodystrophie oder beides hatten. Da sich die Patientengruppen in unserer Studie homogen in Patienten mit oder ohne Laktaterhöhung und schließlich zusätzlich in therapienaive HIV-infizierte Patienten untergliedern, kann man davon ausgehen, dass wenn auch vielleicht nur diskrete Unterschiede im Laktatmetabolismus leichter detektierbar waren und wir im Unterschied zu der Arbeit von Roge et al. zu anderen Ergebnissen kamen. Betrachtet man in Hinblick auf letztere Studie die vier Patienten aus Gruppe 3 und die zwei Patienten aus Gruppe 4 die ebenfalls die Diagnose Lipodystrophie haben, kann man im Vergleich zum Rest der beiden Gruppen folgendes feststellen: wie in Tabelle 6 aufgeführt, unterscheiden sich die vier Patienten mit Lipodystrophie im Vergleich zu den restlichen Probanden aus Gruppe 3 weder signifikant in ihrem Ausgangslaktatwert, noch kommt es zu einer vermehrten Produktion. 120 Minuten nach Belastungsende erreichen die Lipodystrophie-Patienten mit 1.4 mmol/l fast ihren Ausgangswert von 1.3 mmol/l, während die restlichen 11 Probanden mit dem Baselineaktat von im Mittel 1.6 auf 1.8 mmol/l abfallen. In der Gruppe 4 bietet sich ein ähnliches Bild: die zwei Patienten mit Lipodystrophie heben sich in keinem der repräsentativen Messwerte signifikant von dem Rest der Gruppe ab. Somit lässt sich in unserem Kollektiv kein Unterschied im Laktatmetabolismus feststellen.

Tabelle 6: Vergleich von Laktat (mmol/l) im Mittel ( $\pm$ Standardabweichung) zwischen den Patienten mit Lipodystrophie (LD) in den Gruppen 3 und 4 zu den Zeitpunkten -15, 0 und 120 Minuten.

|              | -15            | 0                | 120            |
|--------------|----------------|------------------|----------------|
| <b>LD</b>    | 1,3 $\pm$ 0.14 | 8,03 $\pm$ 2.52  | 1,4 $\pm$ 0.28 |
| <b>Gr. 3</b> | 1,6 $\pm$ 0.26 | 9,31 $\pm$ 2.71  | 1,8 $\pm$ 0.73 |
|              |                |                  |                |
| <b>LD</b>    | 2,9 $\pm$ 0.50 | 9,65 $\pm$ 0.50  | 3,2 $\pm$ 0.50 |
| <b>Gr. 4</b> | 2,7 $\pm$ 0.54 | 10,21 $\pm$ 2.47 | 3,1 $\pm$ 1.27 |

Schlussendlich bleibt nach der momentanen Datenlage unklar, woran genau die Milchsäureerhöhung der antiretroviral behandelten HIV-Patienten festzumachen ist: ob es an einer Überproduktion oder an einer Abbaustörung liegt. Dieser Problemstellung bewusst, widmete sich eine weitere Arbeitsgruppe den Auswirkungen einer unter NRTIs postulierten Störung im Energiestoffwechsel: Tesiorowski et al. (118) untersuchten ebenfalls HIV-infizierte Patienten mit erhöhten Laktatspiegeln in ihrer Reaktion auf körperliche Belastung in Form eines Fahrradergometertestes. Ihre Hypothese war, dass, wenn erhöhte Laktatwerte im Plasma eine klinisch relevante mitochondriale Dysfunktion widerspiegeln, physiologische Einschränkungen zu erwarten sein müssten. Letztere seien durch eine messbare Reduktion der anaeroben Schwelle nachzuweisen. Die anaerobe Schwelle korreliert gut mit dem plötzlichen Anstieg der CO<sub>2</sub> Produktion und der Zunahme der Atemfrequenz, der so genannten ventilatorischen Schwelle, welche bei >40% Sauerstoffverbrauch auftritt. In Patienten mit ähnlicher Fitness sei eine anaerobe Schwelle bei bereits unter 40% Sauerstoffverbrauch ein zusätzlicher Beweis mitochondrialer Funktionseinschränkung. Die Studie verglich drei Gruppen: Gruppe 1 mit milder, Gruppe 2 mit moderater NRTI-induzierter Hyperlaktatämie und eine Kontrollgruppe und fand nach einem ansteigenden Belastungsprotokoll mit 10 Watt-Steigerungen und eigenständigem Belastungsende einen höheren respiratorischen Quotienten (VCO<sub>2</sub>/VO<sub>2</sub>) sowie eine erniedrigte anaerobe Schwelle unter den Patienten mit Laktaterhöhung. Demzufolge haben Tesiorowski et al. von einem erhöhten Laktatspiegel auf eine physiologisch bedeutsame mitochondriale Störung geschlossen. Diese Minderung der anaeroben Schwelle spiegelte sich allerdings nicht in einer Leistungsminderung wider: die Gruppen unterschieden sich nicht in ihrer Leistung und der maximalen Sauerstoffaufnahme. Möglicherweise erreichten die Patienten mit der Hyperlaktatämie ihre anaerobe Schwelle bereits zu einem früheren Zeitpunkt bei niedrigerer Belastung, so dass der belastungsinduzierte Anfall von Milchsäure in Relation zur Leistung höher zu interpretieren

ist. Dies entspricht auch der von uns gemachten Beobachtung in Gruppe 4, die zwar gleich hohe Maximalwerte von Laktat aufwies im Vergleich zu den anderen Gruppen, aber weniger Leistung in Watt erbrachten. Die zusammenfassende Synthese der Beobachtungen könnte sein, dass Patienten mit Hyperlaktatämie früher von aerober in anaerobe Energiegewinnung übergehen und dies möglicherweise auf ein Atmungskettendefizit aufgrund mitochondrialer Dysfunktion zurückzuführen ist. Dies bekräftigt wiederum die Theorie, dass es NRTI-getriggert zu einer Mehrproduktion von Milchsäure kommt, da es durch die mitochondriale Schädigung zu einer insuffizienten Energiebereitstellung kommt.

Folgestudien zu objektiv quantifizierbarer mitochondrialer Schädigung werden weitere Erkenntnis bringen. Der Serummilchsäurespiegel ist mitunter ein sehr störanfälliger Parameter, dessen Routinemessung nicht generell empfohlen wird. Da es durch die NRTIs nach intramitochondrialer Aktivierung zu einer Hemmung des für die Replikation von mitochondrialer DNA verantwortlichen Enzyms Polymerase  $\gamma$  kommt, führt dies zu einer quantitativen Verminderung der in jedem Mitochondrium in circa 10-facher Kopie vorliegendem mtDNA. Diese Depletion von mtDNA lässt sich quantifizieren und in Relation setzen zu der im Kern vorhandenen DNA in peripheren Knochenmarkszellen (PBMCs). Interessant wären nun die Messungen von mitochondrialer DNA bei den Patienten mit bereits erhöhten Laktatwerten im Vergleich zu den Patienten unter HAART mit normalen Werten. Die von Cote gefundenen reversiblen Veränderungen der mtDNA/nDNA Ratio durch Therapieabbruch zeigen einen direkten Einfluss der NRTIs. Bei Patienten mit einer erniedrigten Ratio könnte der Laktatmetabolismus umgekehrt anhand einer Ergometerbelastung untersucht und etwaige toxische Effekte der HAART aufgezeigt werden. Die Frage danach inwiefern die Messung von mtDNA in PBMCs relevante Ergebnisse erzielt ist Gegenstand zahlreicher Diskussionen. Einige Forschungsergebnisse deuten darauf hin, dass es keine Korrelation geben soll zwischen Hyperlaktatämie und dem DNA bzw. RNA Gehalt in peripheren Knochenmarkszellen (119).

Auf dem 9. Deutschen und 14. Österreichischen AIDS-Kongress 2003 in Hamburg wurde ein neues Konzept zur Objektivierung der hepatischen  $\beta$ -Oxidation von Patienten unter Nukleosidanaloga vorgestellt. Ebenso unter dem Aspekt, dass Hyperlaktatämien sehr häufig, jedoch durch das Fehlen prognostischer und prädiktiver Parameter im klinischen Management ein Problem darstellen, wurde von Weber et al. ein [ $^{13}\text{C}$ ]-Oktansäure Atemtest entwickelt.

Dieser Test misst den  $^{13}\text{CO}_2$  Gehalt der Ausatemluft. Die pathologischen Atemtestergebnisse korrelierten mit der Dauer der Nukleosidanaloga-Therapie sowie pathologischen

Leberfunktionsparametern. Weitere Studien zur Erfassung des prognostischen Wertes und dem Einfluss therapeutischer Maßnahmen bei symptomatischer und asymptomatischer Hyperlaktatämie scheinen gerechtfertigt zu sein (120).

Die bisher verfügbaren antiretroviralen Substanzen hemmen die Vermehrung des HI-Virus in der infizierten Zelle. Die Kombination von drei oder mehr Wirkstoffen hat seit 1996 dazu geführt, dass die Krankheitsprogression wirksam verhindert werden kann und eine Immunrekonstitution gelingt. Die Entwicklung von Resistenzen und die zunehmende Belastung durch Langzeitnebenwirkungen haben dazu beigetragen, dass für einige Patienten heute nur noch wenige wirksame oder ausreichend verträgliche Substanzen zur Verfügung stehen. Da besonders Stavudin und Didanosin für die mitochondriale Toxizität verantwortlich gemacht werden, geht man zunehmend dazu über, die Patienten auf verträgliche Medikamente umzustellen. Zunehmend werden neue Angriffspunkte am Virus zur Entwicklung neuer Medikamente erforscht. So ist im Jahr 2003 mit dem Fusionsinhibitor T-20, einem sogenannten Entry-Inhibitor, die Zulassung eines ersten Medikamentes mit einem neuen Wirkprinzip gelungen (121).

## **5. Zusammenfassung**

Nachdem sowohl die Hyperlaktämie als auch die Laktatazidose folgeträchtige Komplikationen der antiretroviralen Therapie HIV-infizierter Patienten darstellen, erscheint es sinnvoll, Ätiologie und Zusammenhänge genauer zu untersuchen.

Da hypothetisch die mitochondriale Toxizität der HAART verantwortlich für die Veränderungen im Laktatstoffwechsel zu sein scheint, wurde als Untersuchungsmethode eine dynamische, submaximale Belastung auf dem Fahrradergometer gewählt. Durch einen Mehrbedarf an oxydativer Phosphorylierung als Stimulus sollte festgestellt werden, ob es durch die mitochondriale Toxizität zu einer objektivierbaren Einschränkung im Energiestoffwechsel kommt. Ziel der Studie war es, durch einen Fahrradergometertest die Ruhelaktatwerte, den Milchsäureanstieg, sowie die den Laktatabfall zu untersuchen. Dabei wurden vier Gruppen miteinander verglichen: gesunde Kontrollen (Gruppe 1), therapienaive HIV-infizierte Patienten (Gruppe 2), HIV-Patienten unter HAART mit normalem Laktat (Gruppe 3), sowie HIV-Patienten unter HAART mit bestehender Hyperlaktämie (Gruppe 4).

Nach einmaliger submaximaler Belastung von 10 Minuten auf dem Fahrradergometer und Messungen vor, kurz nach und jeweils 15, 30, 45, 60 und 120 Minuten nach Belastung waren bei den vier Vergleichsgruppen folgende Ergebnisse festzustellen:

Es besteht ein Unterschied im Laktatmetabolismus zwischen HIV-Patienten und Gesunden. In Relation zu der erbrachten Leistung kommt es bei den Patienten zu einem höheren Laktatanstieg und zu einer verlangsamten Clearance und somit verzögerter Wiederherstellung der Laktat-Homöostase. Signifikante Unterschiede wurden für die Steilheit des Laktatabfalls gefunden. Zwischen Gruppe 3 und 4 unterschied sich die Höhe der Laktatbildung nach Belastung nicht signifikant voneinander. Vielmehr zeigte sich ein Unterschied im Laktatabbau zwischen den Patienten unter HAART und normalem Ausgangslaktat und den Patienten mit bereits bestehender Hyperlaktämie. Dieser zeigte sich in der Gruppe 4 verzögert. Eine Hyperlaktämie bei Patienten unter HAART scheint demzufolge eher auf eine gestörte Laktat-Clearance als auf eine primäre Überproduktion zurückzuführen sein.

Der Unterschied im Laktatmetabolismus zwischen HIV-infizierten Patienten ohne Therapie und gesunden Kontrollpersonen lässt sich hypothetisch durch einen direkten Einfluss viraler Proteine erklären.

Möglicherweise spiegeln erhöhte Baselineaktatwerte einen gestörten Laktatmetabolismus wider und stellen somit als Ausgangspunkt einen Risikofaktor für die Entwicklung einer bedrohlichen Laktatazidose dar.

Mit dieser Pilotstudie wurde zum ersten Mal zwischen therapienaiven HIV-Patienten und Patienten unter HAART, sowie zwischen Patienten mit normalem und erhöhtem Laktat unterschieden, so dass sich ein differenziertes Bild ergibt. Somit wurde zum Verständnis der komplexen Problematik der Hyperlaktämie und Laktatazidose ein wichtiger Beitrag geleistet.

## 6. Bibliographie

- (1) HIV-Infektion und AIDS, 2003.  
Internet Communication, <http://mww.de/krankheiten/infektionskrankheiten/aids.html>.
- (2) Karow T., Lang R. Pharmakologie und Toxikologie. 9. Auflage ed. Druckerei F. Hansen, Bergisch-Gladbach, 2001.
- (3) Douglas T.D. Long-Term Complications of Nucleosid Reverse Transcriptase Inhibitor Therapy. *AIDS Read* 2003; 13(4):176-187.
- (4) Qaqish RB, Fisher E, Rublein J, Wohl DA. HIV-associated lipodystrophy syndrome. *Pharmacotherapy* 2000; 20(1):13-22.
- (5) Pujol RM, Domingo P, Xavier MG, Francia E, Sanbeat MA, Alomar A et al. HIV-1 protease inhibitor-associated partial lipodystrophy: clinicopathologic review of 14 cases. *J Am Acad Dermatol* 2000; 42(2 Pt 1):193-198.
- (6) Carr A, Samaras K, Chisholm DJ, Cooper DA. Pathogenesis of HIV-1-protease inhibitor-associated peripheral lipodystrophy, hyperlipidaemia, and insulin resistance. *Lancet* 1998; 351(9119):1881-1883.
- (7) Carr A, Samaras K, Chisholm DJ, Cooper DA. Abnormal fat distribution and use of protease inhibitors. *Lancet* 1998; 351(9117):1736.
- (8) Carr A, Cooper DA. Images in clinical medicine. Lipodystrophy associated with an HIV-protease inhibitor. *N Engl J Med* 1998; 339(18):1296.
- (9) Shaw AJ, McLean KA, Evans BA. Disorders of fat distribution in HIV infection. *Int J STD AIDS* 1998; 9(10):595-599.
- (10) Walli R, Herfort O, Michl GM, Demant T, Jager H, Dieterle C et al. Treatment with protease inhibitors associated with peripheral insulin resistance and impaired oral glucose tolerance in HIV-1-infected patients. *AIDS* 1998; 12(15):F167-F173.
- (11) Jain RG, Furfine ES, Pedneault L, White AJ, Lenhard JM. Metabolic complications associated with antiretroviral therapy. *Antiviral Res* 2001; 51(3):151-177.
- (12) Murata H, Hruz PW, Mueckler M. The mechanism of insulin resistance caused by HIV protease inhibitor therapy. *J Biol Chem* 2000; 275(27):20251-20254.
- (13) Penzak SR, Chuck SK. Hyperlipidemia associated with HIV protease inhibitor use: pathophysiology, prevalence, risk factors and treatment. *Scand J Infect Dis* 2000; 32(2):111-123.
- (14) Melroe NH, Kopaczewski J, Henry K, Huebsch J. Intervention for hyperlipidemia associated with protease inhibitors. *J Assoc Nurses AIDS Care* 1999; 10(4):55-69.
- (15) Vigouroux C, Gharakhanian S, Salhi Y, Nguyen TH, Adda N, Rozenbaum W et al. Adverse metabolic disorders during highly active antiretroviral treatments (HAART) of HIV disease. *Diabetes Metab* 1999; 25(5):383-392.

- (16) Brinkman K., Smeitink J.A., Romijn J.A., Reiss P. Mitochondrial toxicity induced by nucleoside-analogue reverse-transcriptase inhibitors is a key factor in the pathogenesis of antiretroviral-therapy-related lipodystrophy. *The Lancet* 1999; 354:1112-1115.
- (17) Lo J.C., Mulligan K., Tai V.W., Algren H., Schambelan M. "Buffalo hump" in men with HIV-1 infection. *Lancet* 1998; 351:867-870.
- (18) Gervasoni C., Ridolfo A.L., Trifirò G. Redistribution of body fat in HIV-infected women undergoing combined antiretroviral therapy. *AIDS* 1999; 13:465-471.
- (19) Galli M., Ridolfo A.L., Adorni F. Body habitus changes and metabolic alterations in protease inhibitor-naïve HIV-infected patients treated with two nucleoside reverse transcriptase inhibitors. *J Acquir Immun Defic Syndr* 2002; 29:21-31.
- (20) Weisser M. Medikamentös-toxisch induzierte proximale Myopathie bei HIV-Infektion CDC C3. [Toxic drug-induced proximal myopathy in CDC C3 HIV-infection]. *Schweiz Rundsch Med Prax* 1997; 86(43):1708-1710.
- (21) Newton HB. Common neurologic complications of HIV-1 infection and AIDS. *Am Fam Physician* 1995; 51(2):387-398.
- (22) Sinnwell TM, Sivakumar K, Soueidan S, Jay C, Frank JA, McLaughlin AC et al. Metabolic abnormalities in skeletal muscle of patients receiving zidovudine therapy observed by <sup>31</sup>P in vivo magnetic resonance spectroscopy. *J Clin Invest* 1995; 96(1):126-131.
- (23) Cupler EJ, Danon MJ, Jay C, Hench K, Ropka M, Dalakas MC. Early features of zidovudine-associated myopathy: histopathological findings and clinical correlations. *Acta Neuropathol (Berl)* 1995; 90(1):1-6.
- (24) Morgello S, Wolfe D, Godfrey E, Feinstein R, Tagliati M, Simpson DM. Mitochondrial abnormalities in human immunodeficiency virus-associated myopathy. *Acta Neuropathol (Berl)* 1995; 90(4):366-374.
- (25) Chariot P, Le Maguet F, Authier FJ, Labes D, Poron F, Gherardi R. Cytochrome c oxidase deficiency in zidovudine myopathy affects perifascicular muscle fibres and arterial smooth muscle cells. *Neuropathol Appl Neurobiol* 1995; 21(6):540-547.
- (26) Lichterfeld M, Fischer HP, Spengler U, Rockstroh JK. Fettleber und Serum-Laktaterhöhung bei einer HIV-Patientin. [Fatty liver and increased serum lactate in a woman with HIV]. *Dtsch Med Wochenschr* 2003; 128(3):81-84.
- (27) Tien PC, Grunfeld C. The fatty liver in AIDS. *Semin Gastrointest Dis* 2002; 13(1):47-54.
- (28) Herman JS, Easterbrook PJ. The metabolic toxicities of antiretroviral therapy. *Int J STD AIDS* 2001; 12(9):555-562.
- (29) Albisetti M, Braegger CP, Stallmach T, Willi UV, Nadal D. Hepatic steatosis: a frequent non-specific finding in HIV-infected children. *Eur J Pediatr* 1999; 158(12):971-974.



- (30) Fortgang I.S., Belitsos P.C., Chaisson R.E., Moore R.D. Hepatomegaly and steatosis in HIV-infected patients receiving nucleoside analog antiretroviral therapy. *Am J Gastroenterol* 1995; 90:1433-1436.
- (31) Dassopoulos T, Ehrenpreis ED. Acute pancreatitis in human immunodeficiency virus-infected patients: a review. *Am J Med* 1999; 107(1):78-84.
- (32) Fripiat F, Derue G, Heller F, Honore P, Moreau M, Vandercam B. Acute pancreatitis associated with severe lactic acidosis in human immunodeficiency virus-infected patients receiving triple therapy. *J Antimicrob Chemother* 2000; 45(3):411-412.
- (33) Mirete G, Masia M, Gutierrez F, Mora A, Escolano C, Maestre A. Acute pancreatitis as a complication of ritonavir therapy in a patient with AIDS. *Eur J Clin Microbiol Infect Dis* 1998; 17(11):810-811.
- (34) Cappell MS, Marks M. Acute pancreatitis in HIV-seropositive patients: a case control study of 44 patients. *Am J Med* 1995; 98(3):243-248.
- (35) Pelucio MT, Rothenhaus T, Smith M, Ward DJ. Fatal pancreatitis as a complication of therapy for HIV infection. *J Emerg Med* 1995; 13(5):633-637.
- (36) Carr A, Cooper DA. Adverse effects of antiretroviral therapy. *The Lancet* 2000; 356:1423-1430.
- (37) Lewis W., Dalakas M.C. Mitochondrial toxicity of antiviral drugs. *Nat Med* 1995;417-422.
- (38) Foli A., Benvenuto F., Piccinini G., Bareggi A., Cossarizza A., Lisziewicz J. et al. Direct analysis of mitochondrial toxicity of antiretroviral drugs. *AIDS* 2001; 15:1687-1694.
- (39) Kakuda T.N. Pharmacology of nucleoside and nucleotide reverse transcriptase inhibitor-induced mitochondrial toxicity. *Clin-Ther* 2000; 22(6):685-708.
- (40) Brinkman K., ter Hofstede H.J.M., Burger D.M., Smeitink J.A.M., Koopmans P. Adverse effects of reverse transcriptase inhibitors: mitochondrial toxicity as a common pathway. *AIDS* 1998; 12:1735-1744.
- (41) Newman MD. Bone disorders, hypertension, and mitochondrial toxicity in HIV disease. *Top HIV Med* 2003; 11(1):10-15.
- (42) Walker UA, Setzer B, Venhoff N. Increased long-term mitochondrial toxicity in combinations of nucleoside analogue reverse-transcriptase inhibitors. *AIDS* 2002; 16(16):2165-2173.
- (43) McComsey G. Update on mitochondrial toxicity of antiretrovirals and its link to lipodystrophy. *AIDS Rev* 2002; 4(3):140-147.
- (44) White AJ. Mitochondrial toxicity and HIV therapy. *Sex Transm Infect* 2001; 77(3):158-173.
- (45) Scoular A. Mitochondrial toxicity. *J HIV Ther* 2001; 6(1):1-3.

- (46) Brinkman K. Evidence for mitochondrial toxicity: lactic acidosis as proof of concept. *J HIV Ther* 2001; 6(1):13-16.
- (47) Walker UA. Clinical manifestations of mitochondrial toxicity. *J HIV Ther* 2001; 6(1):17-21.
- (48) Walker UA, Brinkman K. An argument for mitochondrial toxicity in highly active antiretroviral therapy-induced lipotrophy. *AIDS* 2001; 15(11):1450-1452.
- (49) Landovitz RJ, Sax PE. NRTI-associated mitochondrial toxicity. *AIDS Clin Care* 2001; 13(5):43-9,52.
- (50) Rodriguez A. Mitochondrial toxicity. *Women Alive* 2001; 16.
- (51) Benbrik E, Chariot P, Bonavaud S, Ammi-Said M, Frisdal E, Rey C et al. Cellular and mitochondrial toxicity of zidovudine (AZT), didanosine (ddI) and zalcitabine (ddC) on cultured human muscle cells. *J Neurol Sci* 1997; 149 (1):19-25
- (52) Iyengar B, Luo N, Farr CL, Kaguni LS, Campos AR. The accessory subunit of DNA polymerase gamma is essential for mitochondrial DNA maintenance and development in *Drosophila melanogaster*. *Proc Natl Acad Sci U S A* 2002; 99(7):4483-4488.
- (53) Chen X, Goudsmit J, van der Kuyl AC. Lack of correlation between length variation in the DNA polymerase gamma gene CAG repeat and lactic acidosis or neuropathy during antiretroviral treatment. *AIDS Res Hum Retroviruses* 2002; 18(8):531-534.
- (54) White A.J. Mitochondrial toxicity and HIV therapy. *Sex Transm Inf* 2001; 77:158-173.
- (55) Cote HC, Brumme ZL, Craib KJ, Alexander CS, Wynhoven B, Ting L et al. Changes in mitochondrial DNA as a marker of nucleoside toxicity in HIV- infected patients. *N Engl J Med* 2002; 346(11):811-820.
- (56) Scholte H.R. The biochemical basis of mitochondrial diseases. *J Bioenerg Biomembr* 1988; 20:161-191.
- (57) Johns D.R. The other human genome: mitochondrial DNA and disease. *Nat Med* 1996; 2:1065-1068.
- (58) Wallace D.C. Diseases of the mitochondrial DNA. *Annu Rev Biochem* 1992; 61:1175-1212.
- (59) Chinnery P.F., Turnbull D.M. Mitochondrial medicine. *QJM* 1997; 90:657-667.
- (60) Munnich A., Rustin P., Rotig A. Clinical aspects of mitochondrial disorders. *J Inherit Metab Dis* 1992; 15:448-455.
- (61) Hollmann W., Hettinger T. *Sportmedizin*. 4. Auflage, 63-71. Schattauer, 1999.
- (62) Ahonen J, Lahtinen T., Sandström M., Pogliani G., Wirhed R. *Sportmedizin und Trainingslehre*. Schattauer, 1994.

- (63) De Marées H. Sportphysiologie. Sport und Buch Strauß, 2002.
- (64) Stallknecht B, Vissing J, Galbo H. Lactate production and clearance in exercise. Effects of training. A mini-review. Scand J Med Sci Sports 1998; 8(3):127-131.
- (65) Moyle G. Hyperlactatemia and Lactic Acidosis: Should Routine Screening Be Considered? AIDS Read 2002; 12:344-348.
- (66) Moyle G.J., Datta D., Mandalia S., Morlese J., Asboe D., Gazzard B.G. Hyperlactataemia and lactic acidosis during antiretroviral therapy: relevance, reproducibility and possible risk factors. AIDS 2002; 16:1341-1349.
- (67) Lonergan J.T., Behling C., Pfander H., Hassanein T.I., Mathews C. Hyperlactatemia and Hepatic Abnormalities in 10 Human Immunodeficiency Virus-Infected Patients Receiving Nucleoside Analogue Combination Regimens. Clin Infect Dis 2000; 31:162-166.
- (68) Chariot P, Bourokba N, Monnet I, Gherardi R. Hyperlactatemia and human immunodeficiency virus infection: lessons from the era of antiretroviral monotherapy. Antimicrob Agents Chemother 2002; 46(11):3683.
- (69) Antoniou T, Weisdorf T, Gough K. Symptomatic hyperlactatemia in an HIV-positive patient: a case report and discussion. CMAJ 2003; 168(2):195-198.
- (70) Ball SC. Symptomatic hyperlactatemia in a patient on nucleoside reverse transcriptase inhibitors. AIDS Read 2001; 11(12):593-595.
- (71) Boubaker K, Flepp M, Sudre P, Furrer H, Haensel A, Hirschel B et al. Hyperlactatemia and antiretroviral therapy: the Swiss HIV Cohort Study. Clin Infect Dis 2001; 33(11):1931-1937.
- (72) Brinkman K. Editorial Response: Hyperlactatemia and hepatic Steatosis as Features of Mitochondrial Toxicity of Nucleoside Analogue Reverse Transcriptase Inhibitors. Clinical Infectious Diseases 2000; 31:167-169.
- (73) Carr A. Lactic acidemia in infection with human immunodeficiency virus. Clin Infect Dis 2003; 36(Suppl 2):S96-S100.
- (74) Borron S.W. Lactic Acidosis. [www.emedicine.com](http://www.emedicine.com).
- (75) Mallal J.M. Hyperlactatemia syndroms in people with HIV infection. Curr Opin Infect Dis 2002; 15:23-29.
- (76) Falco V, Rodriguez D, Ribera E, Martinez E, Miro JM, Domingo P et al. Severe nucleoside-associated lactic acidosis in human immunodeficiency virus-infected patients: report of 12 cases and review of the literature. Clin Infect Dis 2002; 34(6):838-846.
- (77) Posteraro AF, Mauriello M, Winter SM. Riboflavin treatment of antiretroviral induced lactic acidosis and hepatic steatosis. Conn Med 2001; 65(7):387-390.

- (78) Megarbane B, Goldgran-Toledano D, Guerin JM, Baud F. Acidose lactique fatale chez une patiente infectee par le VIH et traitee par stavudine et didanosine. [Fatal lactic acidosis in a patient infected by HIV and treated with stavudine and didanosine]. *Pathol Biol (Paris)* 2000; 48(5):505-507.
- (79) Tanaka K, Fukahori S, Jojima H, Fujimatsu Y, Shiraishi K, Tanaka M et al. [Fatal lactic acidosis in a patient with acquired immunodeficiency syndrome treated with stavudine, lamivudine and indinavir]. *Kansenshogaku Zasshi* 1999; 73(12):1232-1235.
- (80) Bissuel F, Bruneel F, Habersetzer F, Chassard D, Cotte L, Chevallier M et al. Fulminant hepatitis with severe lactate acidosis in HIV-infected patients on didanosine therapy. *J Intern Med* 1994; 235(4):367-371.
- (81) Gerard Y, Maulin L, Yazdanpanah Y, De La Tribonniere X, Amiel C, Maurage CA et al. Symptomatic hyperlactataemia: an emerging complication of antiretroviral therapy. *AIDS* 2000; 14(17):2723-2730.
- (82) Bonnet F, Bonarek M, Abridj A, Mercie P, Dupon M, Gemain MC et al. Acidose lactique severe chez les patients infectes par le VIH traites par inhibiteurs nucleosidiques de la reverse transcriptase : 9 cas. [Severe lactic acidosis in HIV-infected patients treated with nucleosidic reverse transcriptase analogs: a report of 9 cases]. *Rev Med Interne* 2003; 24(1):11-16.
- (83) Mokrzycki MH, Harris C, May H, Laut J, Palmisano J. Lactic acidosis associated with stavudine administration: a report of five cases. *Clin Infect Dis* 2000; 30(1):198-200.
- (84) Miller KD, Cameron M, Wood LV, Dalakas MC, Kovacs JA. Lactic acidosis and hepatic steatosis associated with use of stavudine: report of four cases. *Ann Intern Med* 2000; 133(3):192-196.
- (85) Bleeker-Rovers CP, Kadir SW, van Leusen R, Richter C. Hepatic steatosis and lactic acidosis caused by stavudine in an HIV-infected patient. *Neth J Med* 2000; 57(5):190-193.
- (86) Acosta BS, Grimsley EW. Zidovudine-associated type B lactic acidosis and hepatic steatosis in an HIV-infected patient. *South Med J* 1999; 92(4):421-423.
- (87) Khouri S, Cushing H. Lactic acidosis secondary to nucleoside analogue antiretroviral therapy. *AIDS Read* 2000; 10(10):602-606.
- (88) Lenzo NP, Garas BA, French MA. Hepatic steatosis and lactic acidosis associated with stavudine treatment in an HIV patient: a case report. *AIDS* 1997; 11(10):1294-1296.
- (89) Brinkman K. Management of hyperlactatemia: no need for routine lactate measurements. *AIDS* 2001; 15:795-797.
- (90) AACTG Lactic Acidosis Guidelines, presented at AACTG Mitochondrial Dysfunction Focus Group Meeting. 2000. <http://www.iapac.org/conferences/icaac39/1284.html>

- (91) John M., Moore C.B., James I.R., Nolan D., Upton R.U., McKinnon E.J. et al. Chronic hyperlactatemia HIV-infected patients taking antiretroviral therapy. *AIDS* 2001; 15(6):717-723.
- (92) Dalton SD, Rahimi AR. Emerging role of riboflavin in the treatment of nucleoside analogue-induced type B lactic acidosis. *AIDS Patient Care STDS* 2001; 15(12):611-614.
- (93) Fouty B., Frerman F., Reves R. Riboflavin to treat nucleosid analogue-induced lactic acidosis. *Lancet* 1998; 352:291-292.
- (94) Schramm C., Wanitschke R., Galle P.R. Thiamine for the treatment of antiretroviral induced lactic acidosis and hepatosteatosi. *Eur J Anaesthesiol* 1999; 1999(16):733-735.
- (95) Arici C., Tebaldi A., Quinzan G.P. Severe lactic acidosis and thiamine administration in an HIV-infected patient on HAART. *Int J STD AIDS* 2001; 12:407-409.
- (96) Brinkman K., Vrouenraets S., Kauffmann R. Treatment of nucleoside reverse transcriptase inhibitor-induced lactic acidosis. *AIDS* 2000; 14(2801):2802.
- (97) Claessens Y.E., Cariou A., Chiche J.D. L-Carnithin as a treatment of life-threatening lactic acidosis induced by nucleoside analogues. *AIDS* 2000; 14(472):473.
- (98) McComsey GA, Lederman MM. High doses of riboflavin and thiamine may help in secondary prevention of hyperlactatemia. *AIDS Read* 2002; 12(5):222-224.
- (99) Lopez O., Bonnefont-Rousselot D., Edeas M., Emerit J., Bricaire F. Could antioxidant supplementation reduce antiretroviral therapy-induced chronic stable hyperlactatemia? *Biomed Pharmacother* 2003; 57(3-4):113-116.
- (100) Schwarz W. Fragebogen zur Erhebung von Fitness und Trainingszustand. Institute for Sports Science 2003.  
[www.magwien.gv.at/herz/test\\_fitness.htm](http://www.magwien.gv.at/herz/test_fitness.htm)
- (101) Löllgen H., Ulmer H.V. Ergometrie. Springer Verlag, 1989.
- (102) Zawta B. Probenstabilität- Probleme, Resultate, Empfehlungen. 2002.  
Ref Type: Pamphlet
- (103) Roche Diagnostics GmbH Mannheim. Lactat. 1998.  
Pamphlet (No. 05021430404).
- (104) McComsey G., Tan D.-J., Lederman M., Wilson E., Wong L.-J. Analysis of mitochondrial DNA genome in the peripheral blood leukocytes of HIV-infected patients with or without lipotrophy. *AIDS* 2002; 16:513-518.
- (105) Macreadie I.G., Thorburn D.R., Kirby D.M., Castelli L.A., De Rosario N.L., Azad A.A. HIV-1 protein Vpr causes gross mitochondrial dysfunction in the yeast *Sacharomyces cerevisiae*. *FEBS Lett* 1997; 410:145-149.

- (106) Macreadie I.G., Castelli L.A., Hewish D.R., Kirkpatrick A., Ward A.C., Azad A.A. A domain of human immunodeficiency virus type 1 Vpr containig repeated H (S/F)RIG amino acid motifs causes cell growth arrest and structural defects. *Proc Natl Acad Sci U S A* 1995; 92(7):2770-2774.
- (107) Jacotot E., Ravagnan L., Loeffler M., Ferri K.F., Vieira H.L., Zamzami N. et al. The HIV-1 viral protein R induces apoptosis via a direct effect on the mitochondrial permeability transition pore. *J Exp Med* 2000; 191(1):33-46.
- (108) Chariot P, Gherardi R. Myopathy and HIV infection. *Curr Opin Rheumatol* 1995; 7(6):497-502.
- (109) Dalakas M. HIV or zidovudine myopathy? *Neurology* 1994; 44(2):360-361.
- (110) Yeh TS, Wang CR, Huang SH, Huang SF, Yang PC, Chuang CY. Myopathy associated with human immunodeficiency virus infection: report of a case. *J Formos Med Assoc* 1993; 92(2):192-194.
- (111) Fromenty B., Berson A., Pessayre D. Microvesicular steatosis and steatohepatitis: role of mitochondrial dysfunction and lipid peroxidation. *J Hepatol* 1997; 26:13-22.
- (112) Chen C.H., Vazquez P.M., Cheng Y.C. Effect of anti-human immunodeficiency virus nucleoside analogs on mitochondrial DNA and its implication for delayed toxicity. *Mol Pharmacol* 1991; 39:625-628.
- (113) Leclercq P, Roth H, Bosserey A, Leverve X. Investigation lactate metabolism to estimate mitochondrial status. *Antiviral Ther* 2001; 6.
- (114) Leclercq P, Derradji M, Colombe B, Leverve XM. Lactate endogenous production is a good tool to evaluate mitochondrial dysfunction. *Antiviral Therapy* 7, L44. 2002.
- (115) Mariotti C, Uziel G, Carrara F Early-onset encephalomyopathie associated with tissue-specific mitochondrial DNA depletion: a morphological, biochemical and molecular-genetic study. *J Neurol* 1995; 242:547-556.
- (116) Chariot P, Drogou I, De Lacroix-Smania I. Zidovudine-induced mitochondrial disorder with massive liver steatosis, myopathy, lactic acidosis, and mitochondrial DNA depletion. *J Hepatol* 1999; 30:156-160.
- (117) Roge BT, Calbet JA, Moller K, Ullum H, Hendel HW, Gerstoft J et al. Skeletal muscle mitochondrial function and exercise capacity in HIV- infected patients with lipodystrophy and elevated p-lactate levels. *AIDS* 2002; 16(7):973-982.
- (118) Tesiorowski A.M., Harris M., Chan K.J., Thompson C.R., Montaner J.S. Anaerobic Threshold and Random Venous Lactate Levels Among HIV-Positive Patients on Antiretroviral Therapy. *J Acquir Immune Defic Syndr* 2002; 31:250-251.
- (119) Casula M, Weverling G, deBaar M, Wit F, Stek M, Lange J et al. Longitudinal assessment of mitochondrial DNA and RNA in PBMC in a randomized comparative trial of NRTI-sparing and NRTI-containing antiretroviral combinations therapy. 11th Conference on Retroviruses and Opportunistic Infections San Francisco 2004, Abstract-709. 2004.

- (120) Weber K, Leodolter A, Schmedes B, Heiken H, Stoll M, Schmidt RE et al. 13C-Oktansäure Atemtest zur Messung der hepatischen b-Oxydation von Patienten unter Behandlung mit Nukleosidanaloga. *European Journal of Medical Research* 2003; 8:23-24.
- (121) Cohen CJ, Dusek A, Green J, Johns EL, Nelson E, Recny MA. Long-term treatment with subcutaneous T-20, a fusion inhibitor, in HIV-infected patients: patient satisfaction and impact on activities of daily living. *AIDS Patient Care STDS* 2002; 16(7):327-335.

## **7. Tabellen und Abbildungsverzeichnis**

### **7.1. Tabellen**

Tab. 1: Patientendaten Gruppe 1-4

Tab. 2: Medikation zum Zeitpunkt der Studie in Gruppe 3 und 4

Tab. 3: Wattanzahl, Wattmaxima und Herzfrequenz

Tab. 4: Messwerte für Laktat

Tab. 5: Prozentueller Laktatabfall

Tab. 6: Vergleich von Laktat zwischen den Patienten mit Lipodystrophie

### **7.2. Abbildungen**

Abb. 1: Produktion und Abbau von Laktat

Abb. 2: Homöostase im Laktatstoffwechsel

Abb. 3: Erhöhte Laktatspiegel

Abb. 4: Hypothese zur Pathogenese der Laktatazidose

Abb. 5: Fragebogen zur Erhebung von Fitness und Trainingszustand

Abb. 6: Laktatkinetik der Patienten 1-10 aus Gruppe 1

Abb. 7: Laktatkinetik der Patienten 1-11 aus Gruppe 2

Abb. 8: Laktatkinetik der Patienten 1-15 aus Gruppe 3

Abb. 9: Laktatkinetik der Patienten 1-9 aus Gruppe 4

Abb. 10: Prozentueller Abfall von Laktat nach 15 Minuten in den Gruppen 1-4

Abb. 11: Prozentueller Abfall von Laktat nach 30 Minuten in den Gruppen 1-4

Abb. 12: Prozentueller Abfall von Laktat nach 45 Minuten in den Gruppen 1-4

Abb. 13: Prozentueller Abfall von Laktat nach 60 Minuten in den Gruppen 1-4

Abb. 14: Prozentueller Abfall von Laktat nach 120 Minuten in den Gruppen 1-4

Abb. 15: Mittelwerte der Laktatmessungen in den Gruppen 1-4

Abb. 16: Vergleich des Laktatabfalls anhand der Area under the curve



## **8. Danksagung**

Für die freundliche Überlassung des Themas, die hilfreiche Unterstützung bei allen Fragen und die wertvollen Anregungen und Diskussionen, sowie die großartige Zusammenarbeit möchte ich Herrn Professor Dr. med. Johannes R. Bogner ganz herzlich danken. Den lehrreichen Einblick in wissenschaftliches und klinisches Arbeiten, die wertvollen Patientenkontakte und die Möglichkeit, weiterbildende Kongresse zu besuchen sowie auch eigene Daten vorzustellen weiß ich sehr zu schätzen. Insbesondere hat die Einbindung in das liebenswürdige und hilfsbereite Team der Infektionsambulanz bestehend aus Ärzten, Schwestern, den Mitarbeitern aus Forschung und Labor ganz erheblich dazu beigetragen dass aus einer ersten Idee ein wertvolles Ganzes entstanden ist.

## **9. Lebenslauf**

### **Persönliche Daten:**

Name: Anna-Maria Bauer  
Geburtsort: Eggenfelden  
Geburtsdatum: 04.02.1978  
Eltern: Hildegard und Maximilian Bauer  
Familienstand: ledig  
Nationalität: deutsch

### **Schulbildung und Berufsausbildung:**

1985-1989 Grundschule Eggenfelden  
1989-1997 Karl-von-Closen-Gymnasium Eggenfelden  
1997-1998 Ausbildung zur Tanzpädagogin, Iwansonschule München

### **Hochschulausbildung und beruflicher Werdegang:**

10/1998 Beginn des Medizinstudiums an der LMU München  
08/2000 Physikum  
2000/2001 Fünftes Semester an der Universität Wien  
08/2001 Erstes Staatsexamen  
03/2004 Zweites Staatsexamen  
06/2005 Drittes Staatsexamen  
seit 09/2005 Assistenzärztin an der Med. Poliklinik der LMU München  
10/2005 Rigorosum

## **Dissertation, Vorträge und Publikation:**

- 03/2002                      Beginn der Dissertationsarbeit
- 2002                              Vortrag über „Laktatbelastung“ im Rahmen einer Informationsveranstaltung über „Neuigkeiten in der HIV-Therapie“, Med. Poliklinik, München
- 10/2002                        „Sixth International Congress on Drug Therapy in HIV Infection“, Glasgow, Vortrag der Ergebnisse meiner Doktorarbeit
- 03/2003                        Vortrag auf dem 7. Kongress für Infektionskrankheiten und Tropenmedizin in Berlin
- 05/2003                        Poster „Mitochondrial DNA depletion and changes in lactate metabolism as a marker of nucleoside toxicity in HIV-infected patients“ auf dem Deutsch-Österreichischen AIDS-Kongress in Hamburg
- 11/2004                        Veröffentlichung der Arbeit in HIV Medicine 2004, 5, 371-376, „Kinetics of lactate metabolism after submaximal ergometric exercise in HIV-infected patients“